

SVEUČILIŠTE U ZAGREBU
PRIRODOSLOVNO-MATEMATIČKI FAKULTET
GEOFIZIČKI ODSJEK

Jelena Ferina

**PROSTORNA RAZDIOBA KOMPONENTI
VODNE RAVNOTEŽE U HRVATSKOJ**

DIPLOMSKI RAD

Voditelj: prof. dr. sc. Branko Grisogono
Suvoditelj: mr. sc. Višnja Vučetić

Zagreb, ožujak 2011.

SADRŽAJ

SAŽETAK.....	2
1. UVOD	3
2. DOSADAŠNJA PRIMJENA PALMEROVE METODE U HRVATSKOJ	5
3. PODACI	7
4. PALMEROVA METODA.....	11
4.1. POTENCIJALNA EVAPOTRANSPIRACIJA (PET).....	12
4.2. STVARNA EVAPOTRANSPIRACIJA (ET).....	13
4.3. PROCJEĐIVANJE I OTJECANJE (R i RO).....	14
4.4. SADRŽAJ ILI ZALIHA VODE U TLU (S).....	14
4.5. GUBITAK VODE IZ TLA (L)	15
5. REZULTATI I DISKUSIJA	17
5.1. PROSTORNA RAZDIOBA KOMPONENTI VODNE RAVNOTEŽE U HRVATSKOJ.....	17
5.1.1. POTENCIJALNA EVAPOTRANSPIRACIJA (PET).....	17
5.1.2. STVARNA EVAPOTRANSPIRACIJA (ET).....	18
5.1.3. SADRŽAJ ILI ZALIHA VODE U TLU (S).....	18
5.1.4. OTJECANJE (RO)	23
5.1.5. PROCJEĐIVANJE (R) I GUBITAK VODE IZ TLA (L)	23
5.2. USPOREDBA RAZDOBLJA 1981–2009. SA STANDARDnim KLIMATOLOŠKIM RAZDOBLJEM 1961–1990.....	27
5.2.1. NIZINSKA ILI PANONSKA ZONA	27
5.2.2. GORSKA ILI PLANINSKA ZONA.....	27
5.2.3. PRIMORSKA ILI MEDITERANSKA ZONA	28
5.2.4. PROMJENE U POSLJEDNJA TRI DESETLJEĆA	28
6. ZAKLJUČAK	31
7. KRATICE.....	33
8. LITERATURA.....	34
PRILOG 1.....	35
PRILOG 2.....	38

SAŽETAK

Koristeći 29-ogodišnji kontinuirani niz meteoroloških podataka (temperatura, količina oborine i relativna vlažnost zraka) s 82 postaje i uvažavajući pedološke podatke, Palmerovom metodom određene su mjesecne vrijednosti komponenti vodne ravnoteže u Hrvatskoj. Izrađeni su prostorni prikazi godišnjih vrijednosti navedenih komponenti i vrijednosti istih komponenti za vegetacijsko razdoblje. Komponente vodne ravnoteže su: potencijalna evapotranspiracija (PET), stvarna evapotranspiracija (ET), sadržaj vode u tlu (S), otjecanje (RO), procjeđivanje (R) i gubitak vode iz tla (L). Evapotranspiracija je proces isparavanja vode s tla (evaporacija) te iz biljaka i životinja (transpiracija). Komponente vodne ravnoteže, iako najvećim dijelom ovise o klimatskim elementima, ovise i o geografskom položaju i geološkoj podlozi. Kada bi bilo dovoljno oborine, najviše evapotranspiracije bilo bi u Dalmaciji, no zbog nedostatka oborine isparavanje u Dalmaciji se ne razlikuje od isparavanja u ostatku Hrvatske. Otjecanje je najveće u područjima s velikom količinom oborine (gorska Hrvatska).

Analizirane promjene za razdoblje 1981–2009. ukazuju na više temperature zraka i manje količine oborine u odnosu na standardni klimatološki period 1961–1990. Njihov međusobni odnos nepovoljno utječe na evapotranspiraciju u područjima s nedovoljom količinom oborine (primorska Hrvatska).

Pri izračunu komponenti vodne ravnoteže nisu korišteni detaljni pedološki podaci niti je uzet u obzir utjecaj reljefa. Utjecaj reljefa nije uzet u obzir niti pri interpolaciji podataka na područje između postaja. Unatoč tome, dobivena je opća (gruba) slika razdiobe komponenti vodne ravnoteže u Hrvatskoj. Primjena proračuna komponenti vodne ravnoteže moguća je i bitna u racionalnom gospodarenju s vodom, u poljoprivredi i vodnom gospodarstvu.

1. UVOD

Položaj Hrvatske rezultirao je s nekoliko reljefnih, klimatskih i vegetacijskih zona. Iako su društveno-gospodarske potrebe prilagođene klimi pojedinog kraja, voda i vegetacija bitni su elementi svakog dijela Hrvatske. Stoga je vrlo bitno pravovremeno rješavanje hidroloških i agrokulturalnih problema, te prilagodavanje promjenama klime za što je nužno poznavanje komponenti vodne ravnoteže.

Cilj rada je prostorno prikazati srednje godišnje vrijednosti komponente vodne ravnoteže kao i njihove srednje vrijednosti u vegetacijskom razdoblju na području cijele Hrvatske, te ispitati je li došlo do njihovih promjena posljednjih desetljeća. Ovaj rad pokazuje važnost određivanja komponenti vodne ravnoteže u težnji da se uspostavi redovni dekadni proračun komponenti vodne ravnoteže u odjelu agrometeorologije.

Osnovne komponente vodne ravnoteže su potencijalna evapotranspiracija (PET), stvarna evapotranspiracija (ET), sadržaj vode u tlu (S), otjecanje (RO), procjeđivanje (R) i gubitak vode iz tla (L). Evapotranspiracija je proces isparavanja vode s tla (evaporacija) te iz biljaka i životinja (transpiracija). Potrebno je razlikovati potencijalnu (PET) i stvarnu evapotranspiraciju (ET). Potencijalna evapotranspiracija je procjena najveće moguće evapotranspiracije, te ukoliko nema dovoljno vlage u tlu, veća je od stvarne evapotranspiracije (npr. Penzar i Penzar, 2000). Glavni koncept računanja komponenti vodne ravnoteže pomoću relativno jednostavne Palmerove metode (Palmer, 1965) je sljedeći: oborinom (P) se prvo namiruje evapotranspiracija (ET), zatim se ostatak oborine troši na procjeđivanje u tlo (R), a po zasićenju tla (S), višak oborine otječe (RO).

Komponente vodne ravnoteže ovise o odnosu oborine, kapaciteta tla i potencijalne evapotranspiracije koja nadalje ovisi o temperaturi, relativnoj vlažnosti zraka i vjetru. Očekuje se da će, u području s relativno velikom količinom oborine i relativno niskom temperaturom kao što je gorska Hrvatska, stvarna evapotranspiracija biti slična potencijalnoj te da će otjecanje biti relativno veliko. S druge strane, u području s relativno visokim temperaturama i s relativno malom količinom oborine kao što je Dalmacija, očekuje se da će stvarna evapotranspiracija biti puno manja od stvarne, a otjecanje zanemarivo.

Do sada je jedino za gorsku Hrvatsku i podvelebitsku zonu dana prostorna razdioba potencijalne evapotranspiracije (Vučetić i Vučetić, 1996a). Većina istraživanja u svijetu bave se analizom klimatskih promjena i Palmerovim indeksom (npr. Wells i dr., 2004), ali ne i detaljnog analizom komponenti vodne ravnoteže što nam Palmerova metoda omogućuje. Ovo je prvi rad s prostornim prikazom komponenti vodne ravnoteže na području cijele Hrvatske i u najnovijem razdoblju 1981–2009. Po prvi puta se mogla provesti takva analiza jer se rapolaže s većim brojem meteoroloških postaja koje imaju meteorološke podatke u digitalnom obliku što pojednostavljuje proračun komponeti vodne ravnoteže.

U slijedećem poglavlju kratko su opisane dosadašnje primjene Palmerove metode u Hrvatskoj. Ulazni podaci za Palmerovu metodu opisani su u poglavlju 3, dok je sama metoda detaljno opisana u poglavlju 4. U poglavlju 5 izneseni su i diskutirani dobiveni rezultati, a dobiveni zaključci izneseni su u poglavlju 6. Korištene kratice navedene su u poglavlju 7 iza kojeg slijede prilozi.

2. DOSADAŠNJA PRIMJENA PALMEROVE METODE U HRVATSKOJ

Šezdesetih godina prošlog stoljeća Palmer je proučavao vlažnost tla u središnjim državama SAD-a, Iowi i Kanzasu, te je 1965. godine publicirao svoju ideju o određivanju sušnih i vlažnih razdoblja (Palmer, 1965). Od tada meteorološka služba SAD-a redovito određuje suhoću odnosno vlažnost svake pokrajine za određeno razdoblje po njegovoj metodi¹.

Prvu primjenu te metode u Hrvatskoj tj. sveobuhvatnu analizu komponenata vodne ravnoteže i Palmerovog indeksa² izradila je B. Penzar (1976) koristeći podatke s postaje Zagreb-Grič u razdoblju 1862–1974, koja raspolaže s najduljim potpunim nizom podataka u Hrvatskoj. U navedenom razdoblju bilo je ukupno 57 suhih³ i isto toliko vlažnih razdoblja. Pronađen je statistički model prognoze vremenskog niza Palmerovih indeksa.

Da su komponente vodne ravnoteže periodičkog karaktera, pokazao je Pandžić (1985) koristeći pedološke i meteorološke podatke s 58 meteoroloških postaja primorske i gorske Hrvatske za razdoblje 1961–1980. U područjima s velikom količinom isparavanja iz tla i biljaka te malom količinom oborine poput većeg dijela istočne jadranske obale i otoka, važnu ulogu ima podatak o maksimalno mogućoj količini vode u tlu. U gorskoj Hrvatskoj dovoljna količina oborine namiruje potrebe za evapotranspiracijom, stoga podatak o maksimalnoj količini vode u tlu ne utječe bitno na ostale komponente vodne ravnoteže.

Analiza desetodnevnih vrijednosti potencijalne i stvarne evapotranspiracije provedena je za nizinski dio Hrvatske za 30 meteoroloških postaja za razdoblje 1981–1990. (Vučetić i Vučetić, 1994). Postaje od Đakova pa prema krajnjem istoku Hrvatske imaju godišnje vrijednosti *PET* veće od godišnjih vrijednosti oborine, a postaje prema zapadu obrnuto. To ukazuje na manjak vode u tlu u istočnoj Slavoniji i na potrebu za navodnjavanjem.

Prvo istraživanje utjecaja klimatskih promjena na komponente vodne ravnoteže primjenom linearног trenda i Man-Kendall rang testa na dugogodišnjem nizu podataka u

¹ <http://lwf.ncdc.noaa.gov/oa/climate/research/prelim/drought/palmer.html>

² Palmerov indeks pokazuje intenzitet suhoće ili vlažnosti za promatrano razdoblje.

³ Razdobljem se smatra suhim ako je Palmerov indeks manji od -1, a vlažnim ako je Palmerov indeks veći od 1.

Križevcima (1931–1990) objavljeno je u radu Vučetić i Vučetić (1996b). Ukazano je da bi signifikantni porast potencijalne i stvarne evapotranspiracije mogao imati negativan učinak na poljoprivrednu proizvodnju.

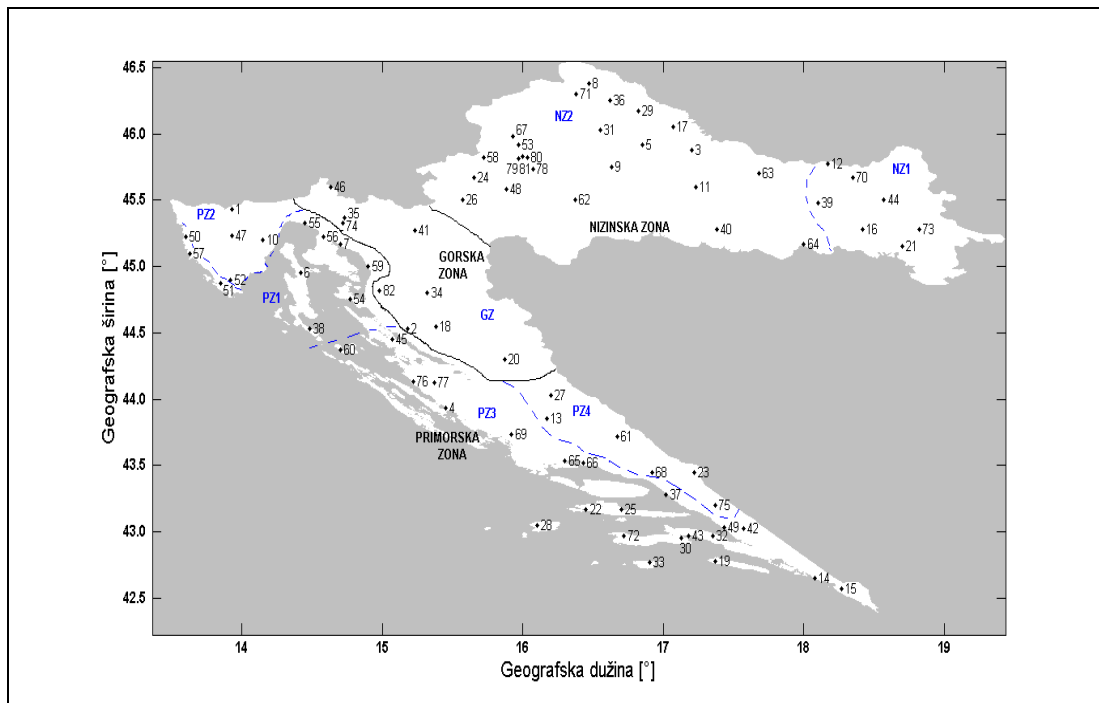
Prostorni prikaz ET u gorskoj Hrvatskoj i dijelu Kvarnera s 12 postaja za razdoblje 1981–1990. ukazuje na veliku ovisnost evapotranspiracije o nadmorskoj visini (Vučetić i Vučetić, 1996a). Iako su postaje Zavižan (1549 m) i Senj (26 m) udaljene svega 25 km, godišnja količina isparavanja gotovo je trostruko manja na vrhovima Velebita nego na obali. Na postajama gorske Hrvatske, osim u Lici, srednje desetodnevne vrijednosti PET i ET uglavnom su podjednake, pa se pojavljuje višak oborine koji otječe.

Budući da količina oborine, isparavanja i vlage znatno djeluju na otočku floru, za morski park Silba procijenjene su komponente vodne ravnoteže pomoću Palmerove metode u razdoblju 1964–1993. (Vučetić i Vučetić, 1997). Utvrđeno je postojanje signifikantnoga pozitivnog trenda za PET na Silbi. Istraživanje je bilo prošireno i na ostalih šest potencijalnih lokacija morskih parkova u Istri i Kvarneru koristeći meteorološke podatke Rovinja, Pule, Cresa i Raba u razdoblju 1951–1995. (Vučetić i Vučetić, 1999) i dobiven je sličan rezultat što ukazuje da te promjene nisu samo lokalnog značaja.

Gajić-Čapka i Zaninović proučavale su trendove komponenti vodne ravnoteže izračunate pomoću klimatoloških i pedoloških podataka s postaje Crikvenica za razdoblje 1901–1994. (Gajić-Čapka i Zaninović, 1998), te s postaje Osijek za razdoblje 1900–1995. (Zaninović i Gajić-Čapka, 1999). Iako su rastući trend temperature, te padajući trendovi relativne vlažnosti i oborine nesignifikantni za područje Osijeka, pokazano je da zbog njihovog međusobnog odnosa postoji statistički signifikantan porast komponenti ET , te smanjenje količine otjecanja i sadržaja vode u tlu. Navedeni klimatološki elementi u Crikvenici imaju slične trendove, ali za razliku od ET u Osijeku, ET u Crikvenici nema linearni trend, no postoji signifikantan pad sadržaja vode u tlu. Na pozitivan trend povećanja temperature i PET , te smanjenje komponente otjecanja na gotovo 24 postaje u Hrvatskoj, ukazuje i analiza podataka za razdoblje 1951–2000. (Pandžić i dr., 2009.)

3. PODACI

Za određivanje prostorne razdiobe komponenti vodne ravnoteže korišteni su podaci srednje mjesecne temperature i relativne vlažnosti zraka te mjesecne količine oborine s meteoroloških postaja u Hrvatskoj u razdoblju 1981–2009. Za analizu su uzete sve postaje koje su imale barem 2/3 podataka mjesecnih vrijednosti u promatranom razdoblju. Taj uvjet zadovoljile su 82 meteorološke postaje (slika 1 i tablica 1) od kojih su 19 imale potpuni niz meteoroloških podataka. Za 32 postaje nedostajući podaci nadopunjeni su interpolacijom mjesecnih vrijednosti sa susjednih postaja. Za interpolaciju srednje mjesecne temperature i relativne vlažnosti zraka uzima se srednja mjesecna razlika, a kod oborine omjer podataka između postaje s nedostajućim podacima i susjedne postaje. Ta razlika/omjer se zatim zbraja/množi sa odgovarajućim podatkom sa susjedne postaje i upisuje na traženo mjesto. U tablici 1 posebno su označene postaje s interpoliranim mjesecnim vrijednostima, te su za svaku postaju navedeni meteorološki elementi koji su interpolirani i susjedne postaje čiji podaci su uzeti u obzir. Odabранo je 14 postaja koje imaju meteorološka mjerena od 1961. godine kako bi se novije razdoblje 1981–2009. usporedilo sa standardnim klimatološkim razdobljem 1961–1990.



Slika 1. Analizirane meteorološke postaje za razdoblje 1981–2009. prikazane su rednim brojem čije se značenje nalazi u tablici 1. Crnim i plavim krivuljama obilježene su zone i podzone vezane uz tablicu 2.

Tablica 1. Popis korištenih meteoroloških postaja s geografskim koordinatama: geografska širina ($\phi, {}^{\circ}$), geografska dužina ($\lambda, {}^{\circ}$), nadmorska visina ($h, \text{ m}$), te maksimalni kapacitet tla ($S_{\text{maks}}, \text{ mm}$) i koeficijent korekcije (C_v). Posebno su označeni interpolirani elementi: temperatura zraka (t), relativna vlažnost zraka (u) i oborina (P) te susjedne postaje s kojih je interpolirano.

Red. br.	Ime postaje	ϕ [${}^{\circ}$]	λ [${}^{\circ}$]	h [m]	$S_{\text{maks}1}$ 0–0.2 m	$S_{\text{maks}2}$ 0.2–1 m	C_v	Interpolirani elementi	Susjedna postaja
1.	Abrami	45.43	13.93	85	30	120	0.8		
2.	Baške Oštarije	44.53	15.18	924	50	200	1.0	t, u, P	Gospic
3.	Bilogora	45.88	17.2	262	80	320	0.9	t, u, P	Križevci
4.	Biograd	43.93	15.45	8	30	120	1.0	t, u, P	Zadar
5.	Bjelovar	45.92	16.85	141	80	320	0.8		
6.	Cres	44.95	14.42	5	30	120	1.0		
7.	Crikvenica	45.17	14.7	2	30	120	0.8	t, u	Rijeka
8.	Čakovec	46.38	16.47	165	80	320	0.9	t, u, P	Varaždin
9.	Čazma	45.75	16.63	144	80	320	0.8	t, u, P	Bjelovar
10.	Čepić	45.2	14.15	30	30	120	0.8	t, u	Pazin
11.	Daruvar	45.6	17.23	161	80	320	0.9		
12.	Donji Miholjac	45.77	18.17	97	80	320	0.8		
13.	Drniš	43.85	16.17	324	30	120	0.8	t, u, P	Knin
14.	Dubrovnik	42.65	18.08	52	30	120	1.1		
15.	Dubrovnik-aerodrom	42.65	18.08	52	30	120	1.1	t, u, P	Dubrovnik
16.	Dakovo	45.28	18.42	98	80	320	0.8	t, u, P	Gradište
17.	Durđevac	46.05	17.07	121	80	320	0.9		
18.	Gospic	44.55	15.38	564	50	200	0.8		
19.	Govedari	42.78	17.37	30	30	120	1.0	t, u, P	Orebić
20.	Gračac	44.3	15.87	567	50	200	0.9	t, u, P	Knin
21.	Gradište	45.15	18.7	97	80	320	0.8		
22.	Hvar	43.17	16.45	20	30	120	1.0		
23.	Imotski	43.45	17.22	435	30	120	0.8		
24.	Jastrebarsko	45.67	15.65	138	80	320	0.8	t, u	Karlovac
25.	Jelsa	43.17	16.7	3	30	120	1.0	t, u, P	Hvar
26.	Karlovac	45.5	15.57	110	80	320	0.8		
27.	Knin	44.03	16.2	255	30	120	0.9		
28.	Komiža	43.05	16.1	20	30	120	1.0	u, P	Hvar
29.	Koprivnica	46.17	16.82	141	80	320	0.9	t, u	Durđevac
30.	Korčula	42.95	17.13	15	30	120	1.0	t, u, P	Orebić
31.	Križevci	46.03	16.55	155	80	320	0.8		
32.	Kuna	42.97	17.35	357	30	120	1.0		
33.	Lastovo	42.77	16.9	186	30	120	1.1		
34.	Ličko Lešće	44.8	15.32	463	50	200	0.8		
35.	Lokve Brana	45.37	14.73	774	50	200	0.9		
36.	Ludbreg	46.25	16.62	158	80	320	0.9	t, u, P	Varaždin
37.	Makarska	43.28	17.02	52	30	120	1.1	u, P	Split-Marjan
38.	Mali Lošinj	44.53	14.48	53	30	120	1.0		
39.	Našice	45.48	18.1	144	80	320	0.8	t, u	Dakovo
40.	Nova Gradiška	45.28	17.38	186	80	320	0.8	t, u, P	Slavonski Brod
41.	Ogulin	45.27	15.23	328	50	200	0.9		
42.	Opuzen	43.02	17.57	2	30	120	1.0	t, u, P	Ploče

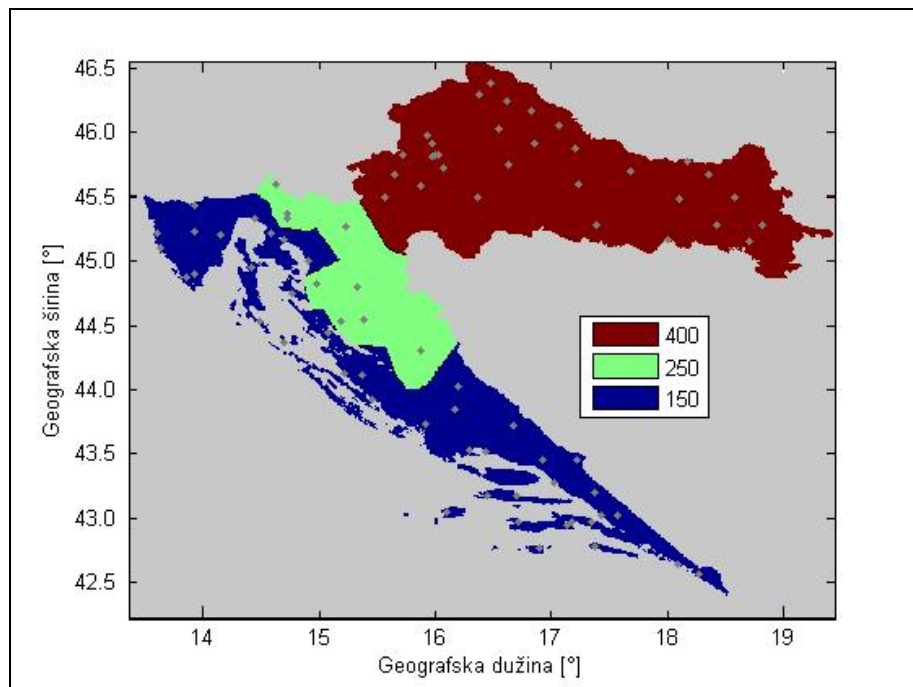
Tablica 1. nastavak

Red. br.	Ime postaje	ϕ [°]	λ [°]	h [m]	S _{maks1} 0–0.2 m	S _{maks2} 0.2–1 m	C _v	Interpolirani elementi	Postaja s koje je interpolirano
43.	Orebić	42.97	17.18	6	30	120	1.0		
44.	Osijek	45.5	18.57	89	80	320	0.8		
45.	Pag	44.45	15.07	3	30	120	1.1	t, u, P	Zadar
46.	Parg	45.6	14.63	863	50	200	0.9		
47.	Pazin	45.23	13.93	291	30	120	0.8		
48.	Pisarovina	45.58	15.88	138	80	320	0.8	u, P	Karlovac
49.	Ploče	43.03	17.43	2	30	120	1.0		
50.	Poreč	45.22	13.6	15	30	120	0.8		
51.	Pula	44.87	13.85	43	30	120	0.8		
52.	Pula-aerodrom	44.9	13.92	63	30	120	0.8	t, u, P	Pula
53.	Puntijarka	45.92	15.97	988	80	320	0.8		
54.	Rab	44.75	14.77	24	30	120	1.1		
55.	Rijeka	45.33	14.45	120	30	120	0.8		
56.	Rijeka-aerodrom	45.22	14.58	85	30	120	1.1	t, u, P	Crikvenica
57.	Rovinj	45.1	13.63	20	30	120	0.8	t, u, P	Poreč
58.	Samobor	45.82	15.72	146	80	320	0.9	t, u, P	Jastrebarsko
59.	Senj	45	14.9	26	30	120	1.1		
60.	Silba	44.37	14.7	20	30	120	1.0	t, u, P	Mali Lošinj
61.	Sinj	43.72	16.67	308	30	120	0.8		
62.	Sisak	45.5	16.37	98	80	320	0.8		
63.	Slatina	45.7	17.68	127	80	320	0.8	u, P	Donji Miholjac
64.	Slavonski Brod	45.17	18	88	80	320	0.8		
65.	Split-aerodrom	43.53	16.30	21	30	120	1.1		
66.	Split-Marjan	43.52	16.43	122	30	120	1.1		
67.	Stubičke Toplice	45.98	15.93	180	80	320	0.9	t, u, P	Samobor
68.	Šestanovac	43.45	16.92	240	30	120	0.8		
69.	Šibenik	43.73	15.92	77	30	120	1.0		
70.	Valpovo	45.67	18.35	92	80	320	0.8	t, u, P	Osijek
71.	Varaždin	46.3	16.38	167	80	320	0.9		
72.	Vela Luka	42.97	16.72	5	30	120	1.0	u, P	Hvar
73.	Vinkovci	45.28	18.82	85	80	320	0.8	u, P	Osijek
74.	Vrelo Ličanke	45.33	14.72	750	50	200	0.9		
75.	Vrgorac	43.2	17.37	347	30	120	0.8	t, u, P	Imotski
76.	Zadar	44.13	15.22	5	30	120	1.1		
77.	Zadar-aerodrom	44.12	15.37	88	30	120	1.1	t, u, P	Zadar
78.	Zagreb-aerodrom	45.73	16.07	106	80	320	0.8	t, u, P	Zagreb-Maksimir
79.	Zagreb-Grič	45.81	15.97	157	80	320	0.8		
80.	Zagreb-Maksimir	45.82	16.03	123	80	320	0.8		
81.	Zagreb-Rim	45.83	16	220	80	320	0.8	t, u, P	Zagreb-Maksimir
82.	Zavižan	44.82	14.98	1594	50	200	1.2		

Osim meteoroloških podataka, za procjenu komponenti vodne ravnoteže potrebno je znati i pedološke podatke odnosno maksimalne kapacitete tla u površinskom sloju do 20 cm i dubljem sloju do 1 m. Maksimalni kapacitet tla za vodu je stalno hidropedološko obilježje tla i predočuje najveću količinu vode koju sloj može primiti tako da sve šupljine budu ispunjene vodom, a zrak iz njih istisnut (Penzar i Penzar, 2000). Vrijednosti maksimalnog kapaciteta tla preuzete su od dr. sc. K. Pandžića (osobna komunikacija). Ukupni maksimalni kapacitet tla do 1 m dubine prostorno je prikazan na slici 2 iz koje se uočavaju tri različite zone u Hrvatskoj:

- nizinska ili panonska zona s maksimalnim kapacetetom tla 400 mm (80 mm u prvom sloju i 320 mm u drugom sloju)
- gorska ili dinarska zona s maksimalnim kapacetetom tla 250 mm (50 mm u prvom sloju i 200 mm u drugom sloju)
- primorska ili jadranska zona s maksimalnim kapacetetom tla 150 mm (30 mm u prvom sloju i 120 mm u drugom sloju)

Koeficijent korekcije (C_v) za potencijalnu evapotranspiraciju objašnjen je u sljedećem poglavlju.



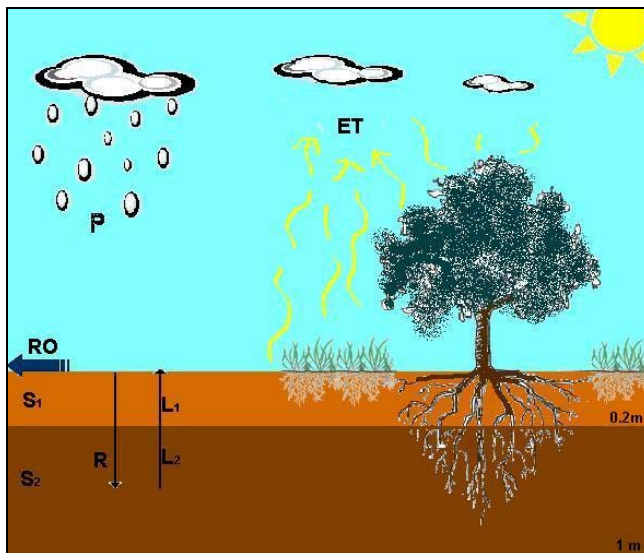
Slika 2. Različite zone maksimalnog kapaciteta tla [mm] u sloju do 1 m dubine u Hrvatskoj.

4. PALMEROVA METODA

U slučajevima kada ne postoje mjerena vlage u tlu i evapotranspiracije, te veličine mogu se procijeniti pomoću vodne ravnoteže za granični sloj tla prema atmosferi (npr. Penzar i Penzar, 2000). Vodna ravnoteža se izražava

$$P + L = ET + R + RO$$

gdje su P količina oborina, L gubitak vode iz tla, ET stvarna evapotranspiracija, R procjeđivanje i RO površinsko otjecanje.



Slika 3. Shematski prikaz komponenti vodne ravnoteže, pri čemu su: P oborina, ET stvarna evapotranspiracija, RO otjecanje, R procjeđivanje, S sadržaj vode u tlu, L gubitak vode iz tla, a indeksi 1 i 2 se odnose na plići (0-0.2 m) i dublji (0.2-1 m) sloj.

Metoda za određivanje komponenti vodne ravnoteže u kojoj se izračunavaju primici i gubici vlage u tlu naziva se Palmerova metoda (Palmer, 1965). Metoda se zasniva na nekoliko pretpostavki i sastoji se od nekoliko faza. Glavna ideja metode (slika 3) jest da se oborina, koja dospije u tlo, prvo troši na evapotranspiraciju (ET), zatim na procjeđivanje vode kroz tlo (R) (popunjavanje zalihe vode u tlu), a višak na otjecanje (RO). Takva situacija karakteristična je za zimski dio godine. Ukoliko bezoborinsko razdoblje potraje dulje, što je karakteristično za npr. ljetne mjeseca u Dalmaciji, zaliha vode u tlu troši se na

ET , a otjecanja nema. Sve komponente vodne ravnoteže izražene su u milimetrima u nekom razdoblju, npr. za mjesec dana.

4.1. POTENCIJALNA EVAPOTRANSPIRACIJA (PET)

Potencijalna evapotranspiracija jednaka je količini vode koja bi mogla ispariti kad bi u tlu i biljkama bilo dovoljno vlage, a ovisi o temperaturi zraka, relativnoj vlažnosti i brzini vjetra. Pri računanju PET primjenjena je modificirana Eaglemanova formula (npr. Pandžić i dr., 2009):

$$PET = C_t C_v e_{maks} \sqrt{(100 - u)}$$

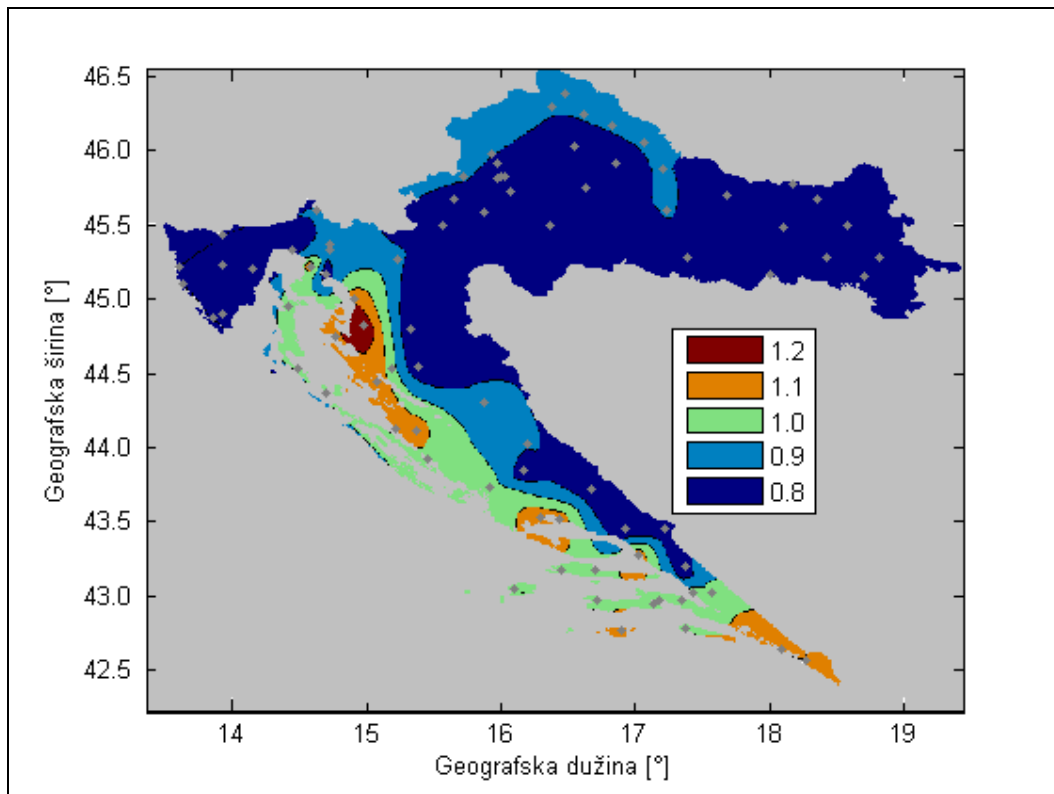
gdje su

$$C_t = \begin{cases} 0.63 + 0.024t, & 0^\circ C \leq t \leq 21^\circ C \\ 0.6, & t < 0^\circ C \\ 1.13, & t > 21^\circ C \end{cases}$$

$$e_{maks} = 6.11 \exp\left(\frac{17.1t}{234.2 + t}\right)$$

pri čemu su: e_{maks} je maksimalni tlak vodene pare [hPa], u je srednja mjesecna relativna vlažnost zraka [%], t srednja mjesecna temperatura zraka [$^\circ C$].

C_v je koeficijent korekcije određen empirički prema mjerenjima isparavanja s vodene površine, a ovisan je o više parametara među kojima su geografski položaj postaje i srednja brzina vjetra na visini 10 m iznad tla. Vrijednosti C_v preuzete su od dr. sc. K. Pandžića (osobna komunikacija). Na slici 4 prikazana je karta koeficijenta korekcije u rasponu od 0.8 do 1.2. Koeficijenti ≥ 1 su uz obalu i na otocima gdje se očekuje više vrijednosti ET , zbog većih brzina vjetra i više temperature zraka, u odnosu na nizinsku, gorsku Hrvatsku i Istru gdje su pridodani koeficijenti manji od 1.



Slika 4. Različite zone koeficijenta korekcije (C_v) potencijalne evapotranspiracije (PET , mm) u Hrvatskoj.

4.2. STVARNA EVAPOTRANSPIRACIJA (ET)

Prepostavljeno je da je komponenta stvarne evapotranspiracije jednaka zbroju evaporacije i transpiracije. Evaporacija je isparavanje vode s površine tla, a transpiracija je isparavanje vode s biljaka pri čemu je zanemaren gubitak vode potreban za rast biljke. Stvarna ET može biti jednaka ili manja od potencijalne, a osim što ovisi o temperaturi zraka, ovisi i o količini oborine:

$$ET = \begin{cases} PET, & P - PET > 0 \\ P + L, & P - PET < 0 \end{cases}$$

4.3 PROCJEĐIVANJE I OTJECANJE (R i RO)

Procjeđivanje se odvija kada je količina oborine veća od potencijalne evapotranspiracije i kada zalihe vode u tlu nisu popunjene. Ukoliko je tlo zasićeno vodom, umjesto procjeđivanja, doći će do otjecanja.

$$R = \begin{cases} 0, & P - PET \leq 0 \\ P - PET, & 0 < P - PET < S_{maks} - S' \\ S_{maks} - S', & P - PET \geq S_{maks} - S' \end{cases}$$

$$RO = \begin{cases} 0, & P - PET \leq 0 \\ 0, & 0 < P - PET < S_{maks} - S' \\ P - PET - R, & P - PET \geq S_{maks} - S' \end{cases}$$

pri čemu su: S' ukupni sadržaj vode u tlu i S_{maks} ukupni maksimalni sadržaj vode u tlu.

4.4. SADRŽAJ ILI ZALIHA VODE U TLU (S)

Prepostavljeno je da dubina promatranog tla ekvivalentna debljini obradivog tla odnosno 1 m dubine te je podijeljena u dva sloja. Debljina prvog odnosno površinskog sloja tla je do 0.2 m dubine te se on prvi puni oborinskom vodom, ali se iz njega voda prvo i troši na evapotranspiraciju. Donji sloj nalazi se na dubini od 0.2–1 m, te je prepostavljeno da se on puni oborinskom vodom tek kada je prvi sloj popunjen, a prazni tek kada ispari sva voda iz prvog sloja. Kao početni uvjet uzima se da je tlo u potpunosti zasićeno vodom. Za sadržaj vode u tlu vrijedi sljedeće:

$$S_1 = S'_1 + \Delta S_1$$

$$S_2 = S'_2 + \Delta S_2$$

$$S = S_1 + S_2$$

pri čemu su:

$$\Delta S_1 = \begin{cases} 0, & L = R = 0 \\ -L_1, & L > 0 \& R = 0 \\ R, & L = 0 \& 0 < R \leq S_{maks1} - S_1' \\ S_{maks1} - S_1', & L = 0 \& 0 < R > S_{maks1} - S_1' \end{cases}$$

$$\Delta S_2 = \begin{cases} 0, & L = R = 0 \\ -L_2, & L > 0 \& R = 0 \\ 0, & L = 0 \& 0 < R \leq S_{maks1} - S_1' \\ R - \Delta S_1, & L = 0 \& 0 < R > S_{maks1} - S_1' \end{cases}$$

gdje su nadalje: S_1 i S_2 sadržaj vode u prvom i drugom sloju tla na kraju mjeseca [mm], S_1' i S_2' sadržaj vode u prvom i drugom sloju tla na početku mjeseca [mm], ΔS_1 i ΔS_2 promjena sadržaja vode u prvom i drugom sloju tla tijekom mjeseca [mm], L_1 i L_2 gubitak vode iz prvog odnosno drugog sloja tla [mm], S_{maks1} maksimalni sadržaj vode u prvom sloju tla [mm].

4.5. GUBITAK VODE IZ TLA (L)

Ukoliko je stvarna evapotranspiracija veća od količine oborinske vode, trošit će se voda iz zalihe u tlu (ako je ima) što se naziva gubitkom vode iz tla (L). Gubitka nema ako je potencijalna evapotranspiracija manja od količine oborinske vode. Računa se za svaki sloj posebno, i na kraju se gubici po slojevima zbrajaju.

$$L = L_1 + L_2$$

pri čemu su:

$$L_1 = \begin{cases} PET - P, & S_1' > PET - P \& PET - P > 0 \\ S_1, & S_1' \leq PET - P \& PET - P > 0 \\ 0, & S_1' = 0 \\ 0, & PET - P \leq 0 \end{cases}$$

$$L_2 = \begin{cases} (PET - P - L_1) \frac{S'_2}{S_{maks}}, & 0 < (PET - P - L_1) \frac{S'_2}{S_{maks}} \leq S'_2 \\ 0, & (PET - P - L_1) \frac{S'_2}{S_{maks}} \leq 0 \\ S'_2, & (PET - P - L_1) \frac{S'_2}{S_{maks}} > S'_2 \end{cases}$$

$$S_{maks} = S_{maks1} + S_{maks2}$$

gdje su nadalje: S_{maks} ukupni maksimalni sadržaj vode u tlu [mm], a S_{maks1} i S_{maks2} maksimalni sadržaj vode u prvom odnosno drugom sloju tla [mm].

4.6. NEDOSTACI METODE

Ukoliko se računaju desetodnevne ili mjesecne komponente vodne ravnoteže, trebalo bi voditi računa o tome pojavljuje li se oborina u obliku snijega te je li tlo smrznuto (Penzar, 1976). Zimi je čest slučaj da se snijeg ne otopi u istom mjesecu u kojem je napadao. U tom slučaju koeficijent otjecanja (RO) biti će povećan za to promatrano razdoblje, a umanjen u razdoblju u kojem dođe do otapanja snijega. Sljedeći nedostatak metode je u tome što krivo procjenjuje komponentu otjecanja jer ne prepozna u kojem je obliku i koliko je trajala oborina, te prepostavlja da se sva količina oborine dospijeva u tlo. Stoga je za vrijeme kratkotrajnih i jakih pljuskova na suho tlo, što je npr. čest slučaj ljeti, količina otjecanja podcijenjena. Preciznost metode raste s duljinom promatranog razdoblja, npr. nekoliko tjedana i više.

5. REZULTATI I DISKUSIJA

5.1. PROSTORNA RAZDIOBA KOMPONENTI VODNE RAVNOTEŽE U HRVATSKOJ

U ovom poglavlju dan je prostorni prikaz svake komponente vodne ravnoteže na osnovi odgovarajućih karata prostornih razdioba. Numeričke vrijednosti za nizinsku, gorsku i primorsku zonu s pripadnih sedam područja prikazani su u tablici 2. Računalni program proračuna komponenti vodne ravnoteže napisan je u programskom jeziku MATLAB gdje se za prostornu interpolaciju koristila funkcija *TriScatteredInterp*⁴. Rubna područja Hrvatske obojana su bijelom bojom (slike 5–10, 12–14) iz razloga što rubne postaje nisu smještene na granici. Za račun na tim područjima trebalo bi raspolagati s pograničnim meteorološkim podacima susjednih zemalja ili primijeniti neku metodu ekstrapolacije. Zbog složenosti i smislenosti, metoda ekstrapolacije nije primjenjena. Prilikom interpolacije nije uzet u obzir utjecaj reljefa tla. Vrijednosti su grupirane u najviše pet boja za svaku promatranu komponentu vodne ravnoteže kako bi se kartama prikazala općenitija slika razdiobe budući da mreža meteoroloških postaja nije bila dovoljno gusta.

Na gornjim slikama 5a–10a nalaze se godišnje komponente vodne ravnoteže, a na donjim slikama 5b–10b prikazane su iste komponente vodne ravnoteže, ali u vegetacijskom razdoblju⁵. Za pojedinu komponentu vodne ravnoteže skale na kartama su jednake radi lakše usporedbe godišnjeg i vegetacijskog razdoblja. Niže vrijednosti komponenti vodne ravnoteže obojane su hladnim bojama, a više vrijednosti toplim bojama. U prilogu 1 prikazane su prostorne razdiobe ulaznih podataka za Palmerovu metodu (temperatura zraka, relativna vlažnost zraka i količina oborine) za godinu i u vegetacijskom razdoblju.

5.1.1. POTENCIJALNA EVAPOTRANSPIRACIJA (PET)

Na godišnjoj razini Dalmacija ima vrlo velike vrijednosti potencijalne evapotranspiracije (tablica 2 i slika 5), a najveće su procjenjene na širem splitskom, makarskom i dubrovačkom području. Osim visokih temperatura zraka, povećanju

⁴ Pri korištenju *TriScatteredInterp* izabrana metoda interpolacije je *Natural neighbor interpolation*.

⁵ U ovom radu vegetacijskim razdobljem smatra se razdoblje od 1. travnja do 30. rujna.

potencijalnog isparavanja iz tla i biljaka doprinosi i jak vjetar na tom području koji je uključen u koeficijent korekcije. Vrijednosti PET na području Istre i Kvarnera, kao i na području gorske i nizinske Hrvatske, upola su manje u odnosu na Dalmaciju. Prostorna razdioba PET vegetacijskog razdoblja prati prostornu godišnju razdiobu PET . U vegetacijskom razdoblju bilo bi moguće ispariti iz tla i biljaka 70–80% godišnje vrijednosti PET .

5.1.2. STVARNA EVAPOTRANSPIRACIJA (ET)

Količina stvarne godišnje evapotranspiracije vrlo je slična u većem dijelu Hrvatske, osim u Dalmaciji i na Kvarneru (slika 6). Iako najviše oborine ima u gorskoj Hrvatskoj, količina ET tamo je najmanja zbog nižih srednjih temperatura zraka u odnosu na ostatak Hrvatske. Najveće isparavanje iz tla i biljaka je na širem senjskom i dubrovačkom području. To je uzrokovano relativno visokim temperaturama, manjom relativnom vlažnošću zraka, jakim vjetrom (osobito na senjskom području) i većom količinom oborine koja na tim područjima tek djelomično zadovoljava potrebu za isparavanjem iz tla i biljaka u odnosu na ostatak primorske Hrvatske.

Skale za PET i ET su jednake radi lakše usporedbe. Vidljivo je da je ET u Dalmaciji puno manji u odnosu na PET (tablica 2). Zbog nedostatka oborine i vlage u tlu, ET na dalmatinskoj obali i otocima ostvari oko 50% PET na godišnjoj razini i oko 30% PET u vegetacijskom razdoblju.

5.1.3. SADRŽAJ ILI ZALIHA VODE U TLU (S)

Prostorna razdioba zalihe vode u tlu (S), prikazana na slici 7, najvećim dijelom prati razdiobu maksimalnog kapaciteta vode u tlu (slika 2), osim u primorskoj Hrvatskoj gdje su te vrijednosti još i niže. Srednja količina sadržaja vode u tlu u nizinskoj i gorskoj Hrvatskoj, u vegetacijskom razdoblju je otprilike upola manja u odnosu na cijelu godinu (tablica 2). U vegetacijskom razdoblju u primorskoj Hrvatskoj vrijednosti S iznose samo 20–40% godišnjih vrijednosti.

Tablica 2. Minimalne i maksimalne vrijednosti godišnjih (g) ulaznih i izlaznih podataka za Palmerovu metodu, odnosno njihovi iznos u vegetacijskom (veg) razdoblju (1. travnja – 30. rujna) za nizinsku, gorsku i primorsku zonu u Hrvatskoj. U poglavljju 7 nalaze se korištene kratice.

Pojedine zone su podijeljene na manja područja sličnih značajki, a njihovi položaji mogu se vidjeti na slici 1:

NZ1 – istočna Hrvatska

NZ2 – središnja Hrvatska (postaja Puntijarka (53) nije uključena u ovaj izračun)

GZ – gorska Hrvatska

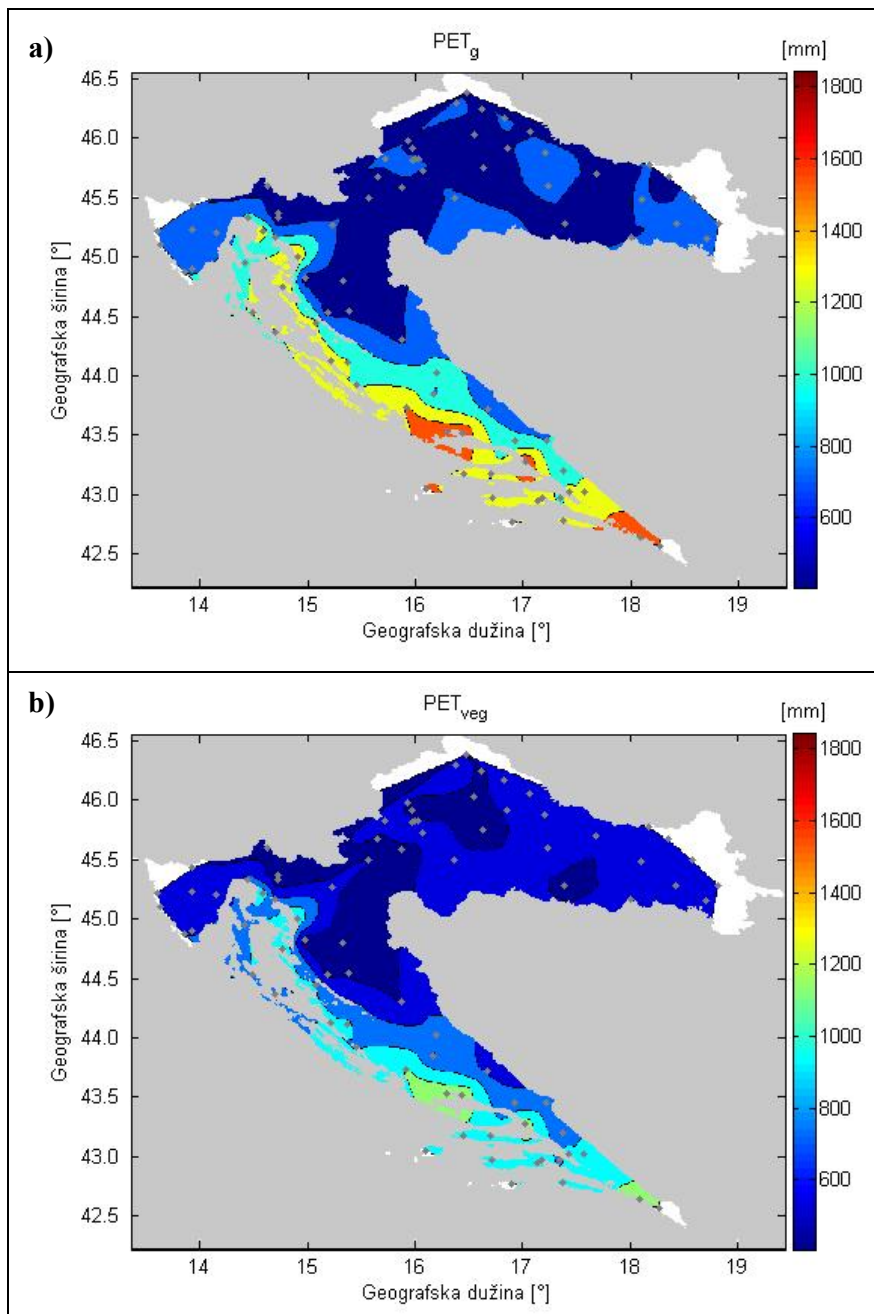
PZ1 – Kvarner i zapadna obala Istre

PZ2 – unutrašnjost Istre

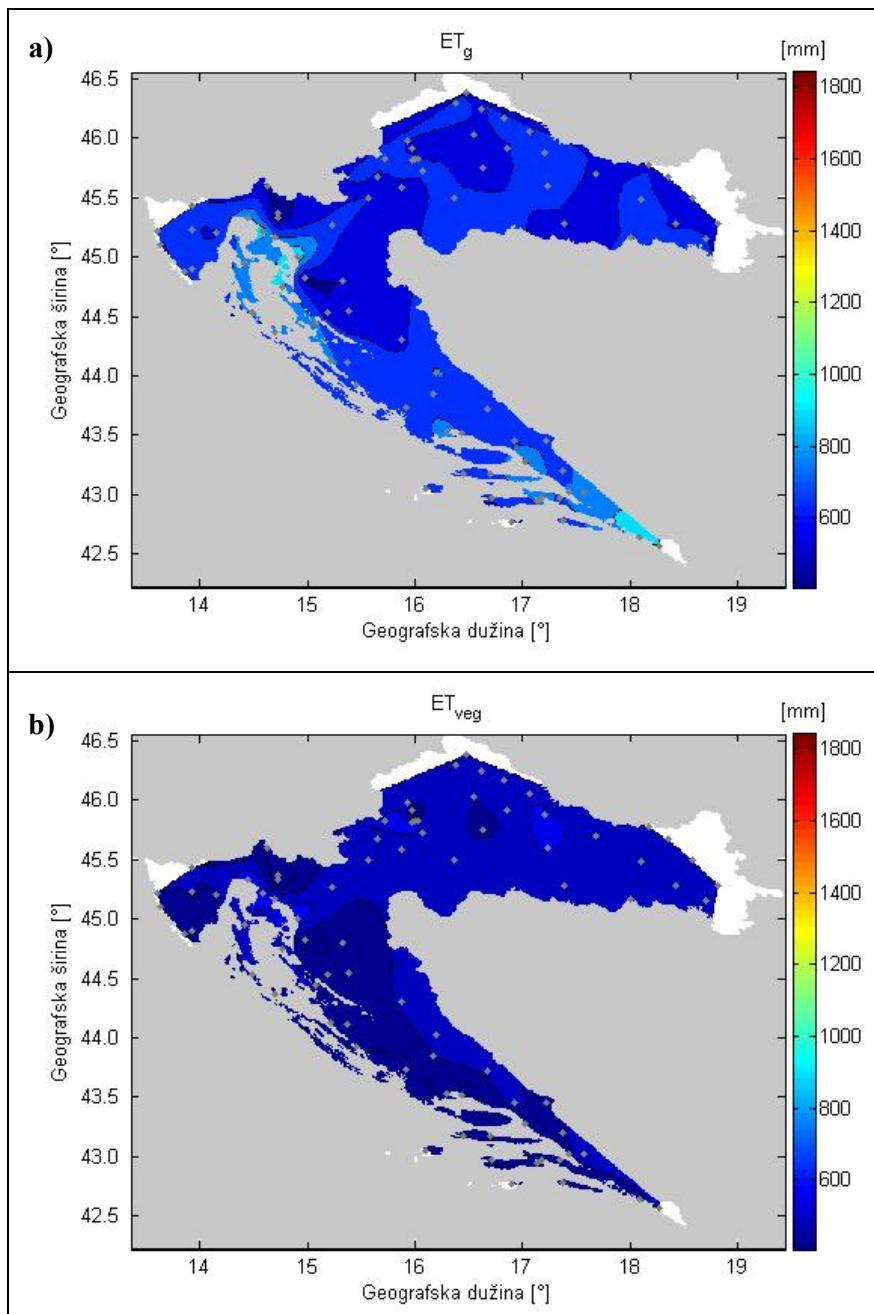
PZ3 – podvelebitska obala s otocima te dalmatinska obala s otocima

PZ4 – dalmatinsko zaleđe

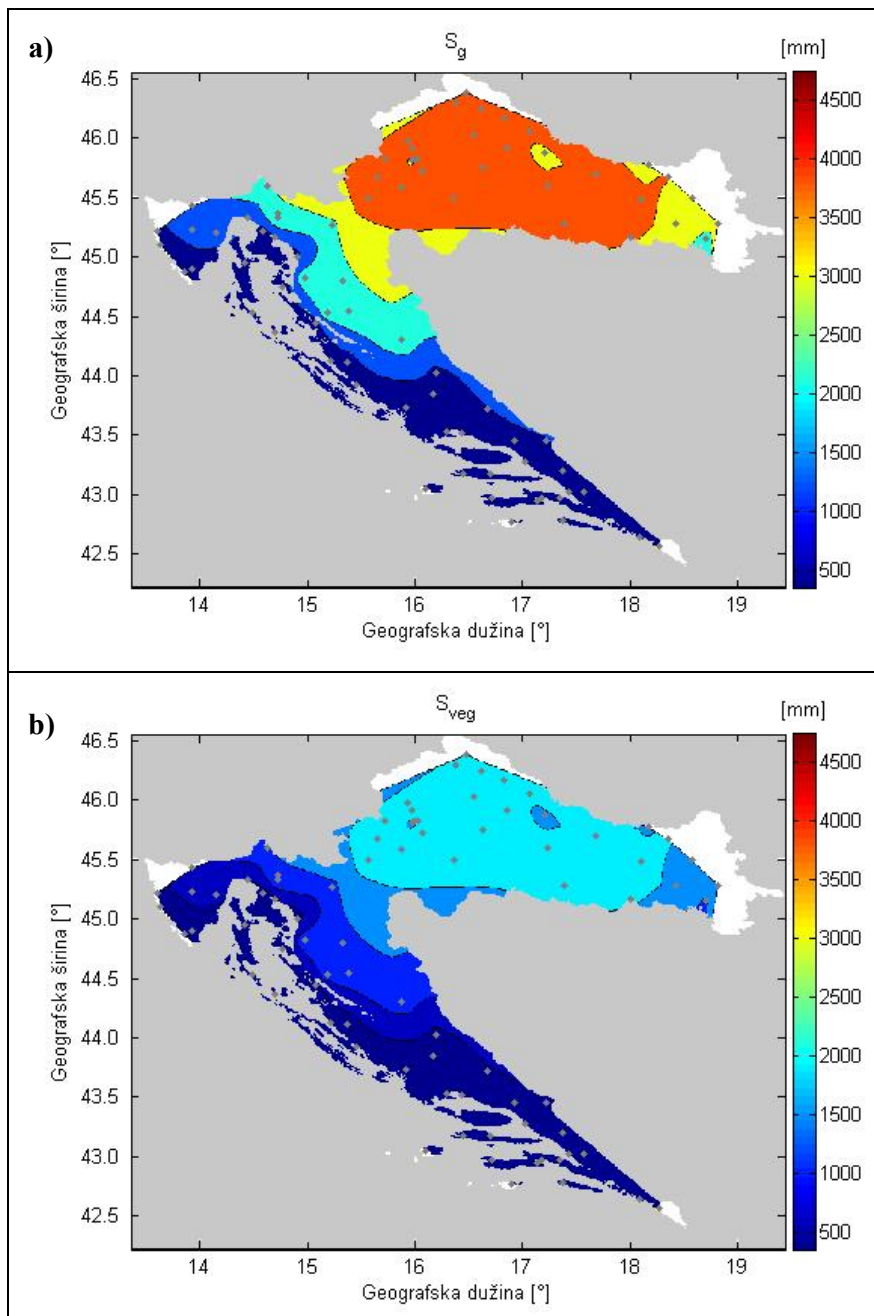
Podaci	Nizinska zona				Gorska zona		Primorska zona							
	NZ1		NZ2		GZ		PZ1		PZ2		PZ3		PZ4	
	min	maks	min	maks	min	maks	min	maks	min	maks	min	maks	min	maks
Ulazni podaci														
P _g [mm]	657	867	763	1065	1132	2486	784	1529	885	1098	626	1280	936	1683
P _{veg} [mm]	369	478	431	600	488	945	346	645	387	535	204	409	413	502
t _g [°C]	10	12	10	12	4	10	13	16	12	14	14	17	13	16
t _{veg} [°C]	17	18	17	19	9	16	19	21	17	19	19	22	19	21
u _g [%]	74	81	68	84	74	87	61	74	70	79	58	75	64	74
u _{veg} [%]	69	78	64	81	70	83	58	71	67	76	55	74	59	67
Izlazni podaci														
PET _g [mm]	649	773	576	869	413	717	846	1608	731	921	1153	1846	904	1373
PET _{veg} [mm]	510	613	455	678	328	557	636	1184	548	693	872	1343	695	1011
ET _g [mm]	615	653	558	799	410	696	656	1005	635	675	601	923	666	849
ET _{veg} [mm]	483	518	437	613	325	536	436	615	457	485	270	500	459	527
S _g [mm]	2795	4360	3502	4496	2710	2947	782	1305	1043	1449	353	1088	928	1242
S _{veg} [mm]	1293	2049	1617	2138	1237	1447	190	469	357	629	55	320	236	427
RO _g [mm]	30	238	63	410	600	2038	105	639	210	463	25	542	213	1017
RO _{veg} [mm]	5	65	11	122	136	604	3	107	17	103	0	50	19	139
R _g [mm]	132	189	116	211	42	111	148	176	122	157	99	170	162	172
R _{veg} [mm]	42	55	42	62	40	73	27	81	46	61	3	41	31	54
L _g [mm]	133	197	116	216	42	111	148	176	122	157	99	170	162	172
L _{veg} [mm]	122	182	108	197	42	108	122	148	108	138	69	151	143	151



Slika 5. a) Prostorna razdioba srednje godišnje potencijalne evapotranspiracije (PET_g , mm) u Hrvatskoj i b) u vegetacijskom razdoblju (PET_{veg} , mm). Rubna područja za koje nema podataka za interpolaciju su bijela. Sive točke označuju položaj postaja.



Slika 6. Isto kao i na slici 5, ali za stvarnu evapotranspiraciju (ET , mm).



Slika 7. Isto kao i na slici 5, ali za sadržaj vode u tlu (S , mm).

5.1.4. OTJECANJE (RO)

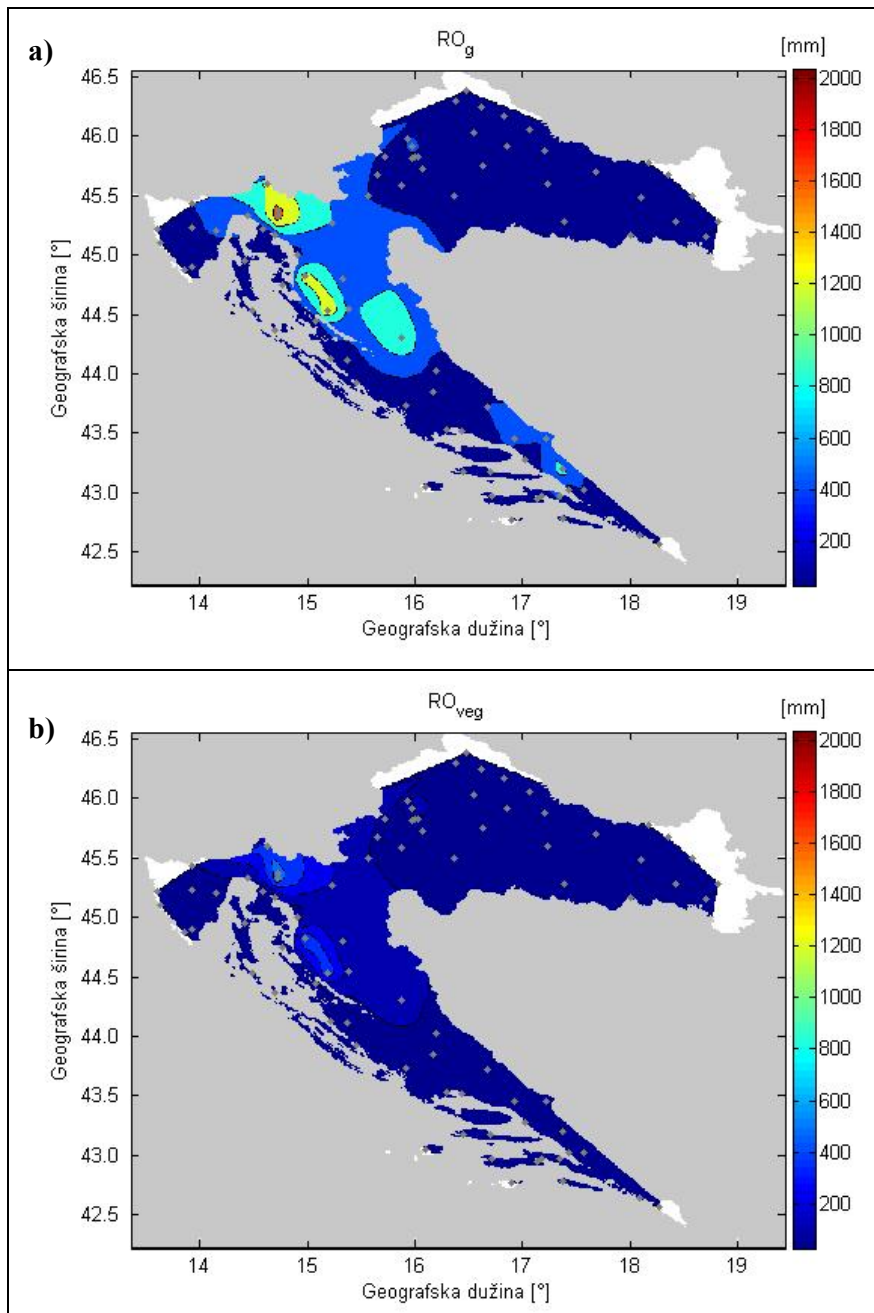
Na slici 8 prikazana je prostorna razdioba površinskog otjecanja na kojoj se, iako su količine različite (potrebno je pribrojiti još ET), dobro uočava kako ona prati prostornu razdiobu količine oborine (prilog 1). Izraženi maksimumi pripadaju gorskom području gdje ima više oborine u odnosu na ostatak Hrvatske. Otjecanje ne ovisi samo o meteorološkim elementima nego i o topografiji, vrsti tla, vegetaciji, geologiji (krš, stijena i sl.). Osim na području gorske Hrvatske, u vegetacijskom razdoblju otjecanja i procjeđivanja u ostatku Hrvatske gotovo da ni nema. Razlog tome je što se oborina u tom razdoblju utroši uglavnom na isparavanje iz tla i biljaka.

5.1.5. PROCJEĐIVANJE (R) I GUBITAK VODE IZ TLA (L)

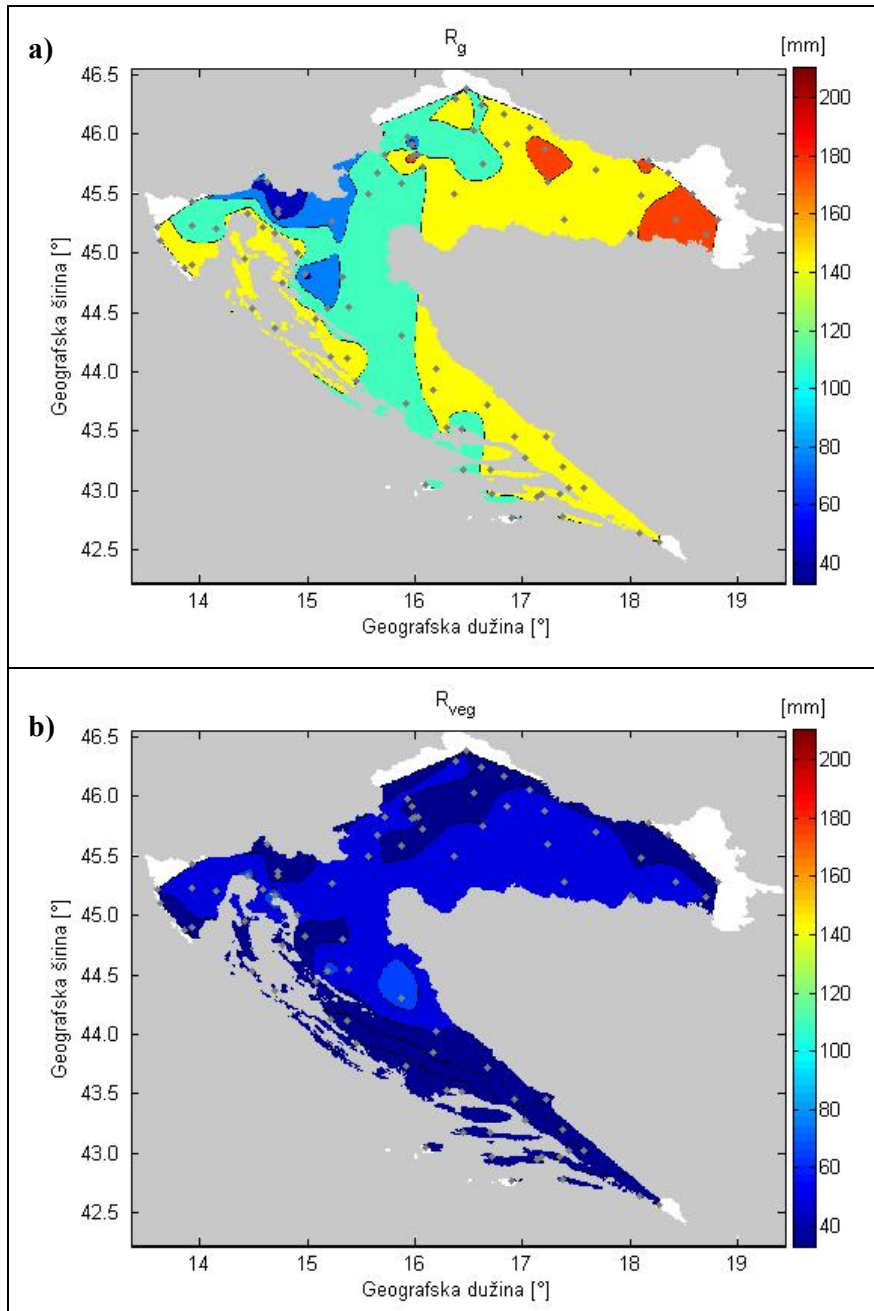
Količina godišnjeg gubitka vode iz tla odgovara godišnjoj količini procjeđivanja (tablica 2). Gubitak vode iz tla (L) vrlo je velik u vegetacijskom razdoblju zbog istovremeno velike ET i male količine oborine. Budući da u gorskoj Hrvatskoj ima dovoljno oborine za potrebe isparavanja, tlo je cijele godine zasićeno vodom, a R i L nisu veliki. Najveći L očekuje se u području gdje je najveće isparavanje (npr. Dalmaciji). Međutim s obzirom da za isparavanje treba dovoljna količina vode u tlu, L je najveći u istočnoj Slavoniji.

Godišnja količina L i godišnja količina R su jednake, ali imaju suprotni godišnji hod (prilog 2). Ovisno o odnosu količine isparavanja iz tla i biljaka i količine oborine, u vegetacijskom razdoblju gubitak vode iz tla je maksimalan, a količina procjeđivanja minimalna (slike 9 i 10).

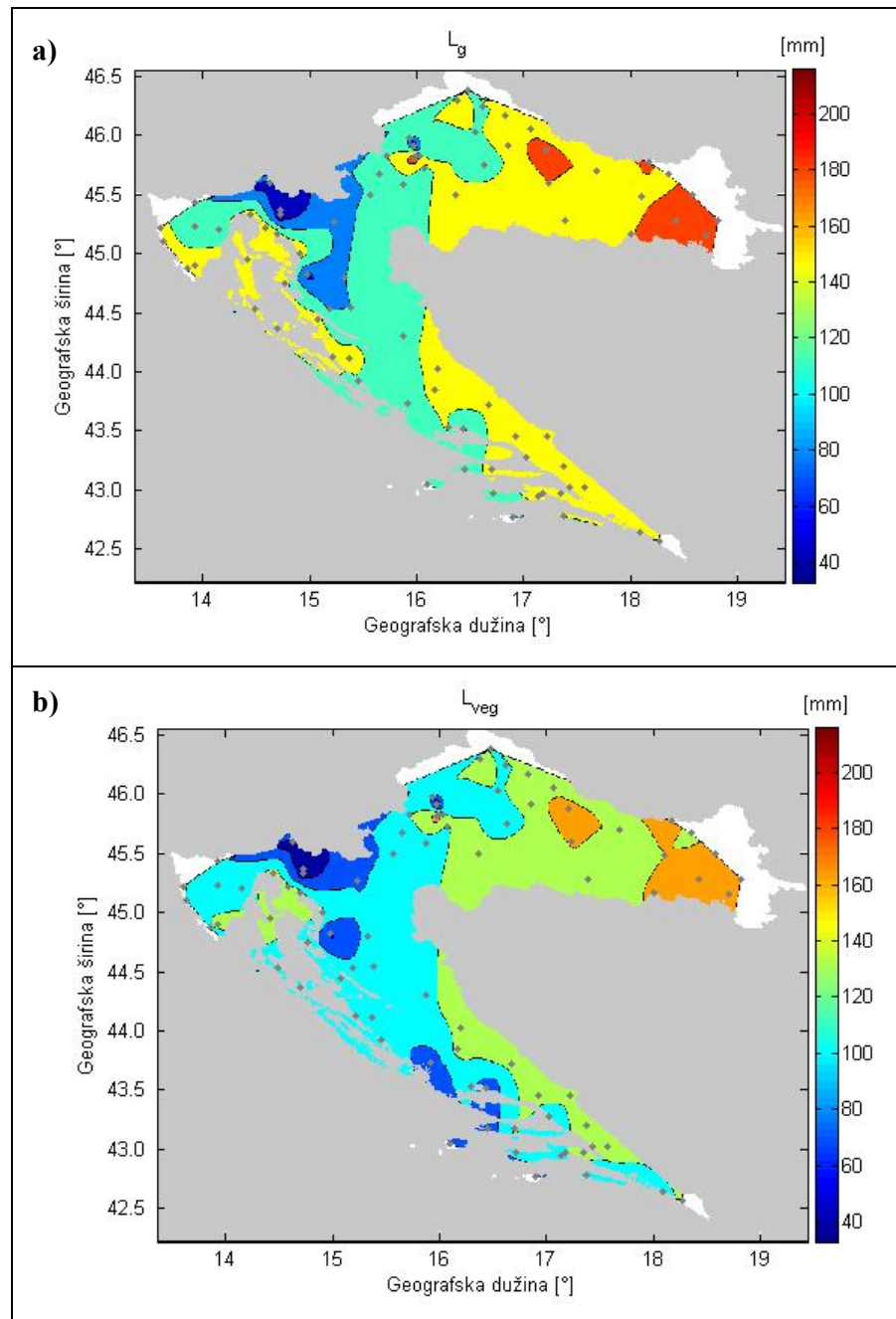
U gorskom dijelu Hrvatske relativno velike količine oborine i relativno male količine ET dovode do toga da je tlo gotovo konstantno zasićeno vodom. Stoga nema ni velikog L , ni R , ali je zato relativno veliko RO .



Slika 8. Isto kao i na slici 5, ali za otjecanje (RO , mm).



Slika 9. Isto kao i na slici 5, ali za procjeđivanje (R , mm).



Slika 10. Isto kao i na slici 5, ali za gubitak vode iz tla (L , mm).

5.2. USPOREDBA RAZDOBLJA 1981–2009. SA STANDARDNIM KLIMATOLOŠKIM RAZDOBLJEM 1961–1990.

Analizirano je 14 postaja koje imaju dugi niz meteoroloških podataka, a reprezentativne su za sve tri promatrane zone. Na slici 11 prikazani su godišnji hodovi srednje mjesecne količine oborine te potencijalne i stvarne evapotranspiracije u razdoblju 1981–2009. i uspoređeni su s referentnim razdobljem 1961–1990.

PET je najveća u topлом, a najmanja u hladnom dijelu godine. Ovisno o odnosu količine oborine i *PET*, u ljetnim mjesecima *ET* ili prati hod *PET* (ako ima dovoljno oborine), ili prati hod oborine. Najviše vode u tlu dolazi od kiše i snijega, odnosno od oborine koja iz oblaka pada na zemlju. Doprinos od rose iako mali, važan je za vegetaciju sušnih područja poput dalmatinskih otoka i obale u ljetnom dijelu godine (Vučetić i Vučetić, 2000). Poznato je da je u godišnjem hodu srednja mjesecna relativna vlažnost najviša u hladnom, a najniža u topлом dijelu godine tj. suprotno od godišnjeg hoda temperature. Radi lakše usporedbe, minimalne i maksimalne vrijednosti navedenih elemenata za sve tri zone dane su u tablici 2.

5.2.1. NIZINSKA ILI PANONSKA ZONA

Glavna karakteristika nizinske zone (Osijek, Slavonski Brod i Zagreb) je veća količina oborine u toplijem dijelu godine. Razlog tomu su intenzivni pljuskovi iz konvektivne naoblake potaknute vrlo zagrijanim tlom, te prolazi ciklona čije su putanje u toplijem dijelu godine pomaknute prema sjeveru $\sim 50^{\circ}\text{N}$ (npr. Penzar i Penzar, 2000). Količina oborine u ljetnim mjesecima većim dijelom namiruje potrebu za isparavanjem, pa se *PET* i *ET* u topлом dijelu godine vrlo malo razlikuju. Navedene razlike veće su na krajnjem istoku zemlje i, poput količine oborine, smanjuju se idući prema zapadu. U hladnijem dijelu godine, zbog niskih temperatura, s *ET* postiže minimum i izjednačava se s *PET*.

5.2.2. GORSKA ILI PLANINSKA ZONA

Za postaje u gorskoj Hrvatskoj (Gospić, Ogulin i Zavižan) karakteristična je relativno velika količina oborine kroz cijelu godinu, ali zato imaju najmanju *PET* i *ET* u odnosu na ostatak Hrvatske. Ljetni minimum oborine javlja se ukoliko se na postaji osjeća

utjecaj mora. Potencijalna i stvarna evapotranspiracija postižu maksimum u srpnju, a minimum u siječnju (prilog 2). Količine oborine zadovoljavaju potrebe isparavanja iz tla i biljaka.

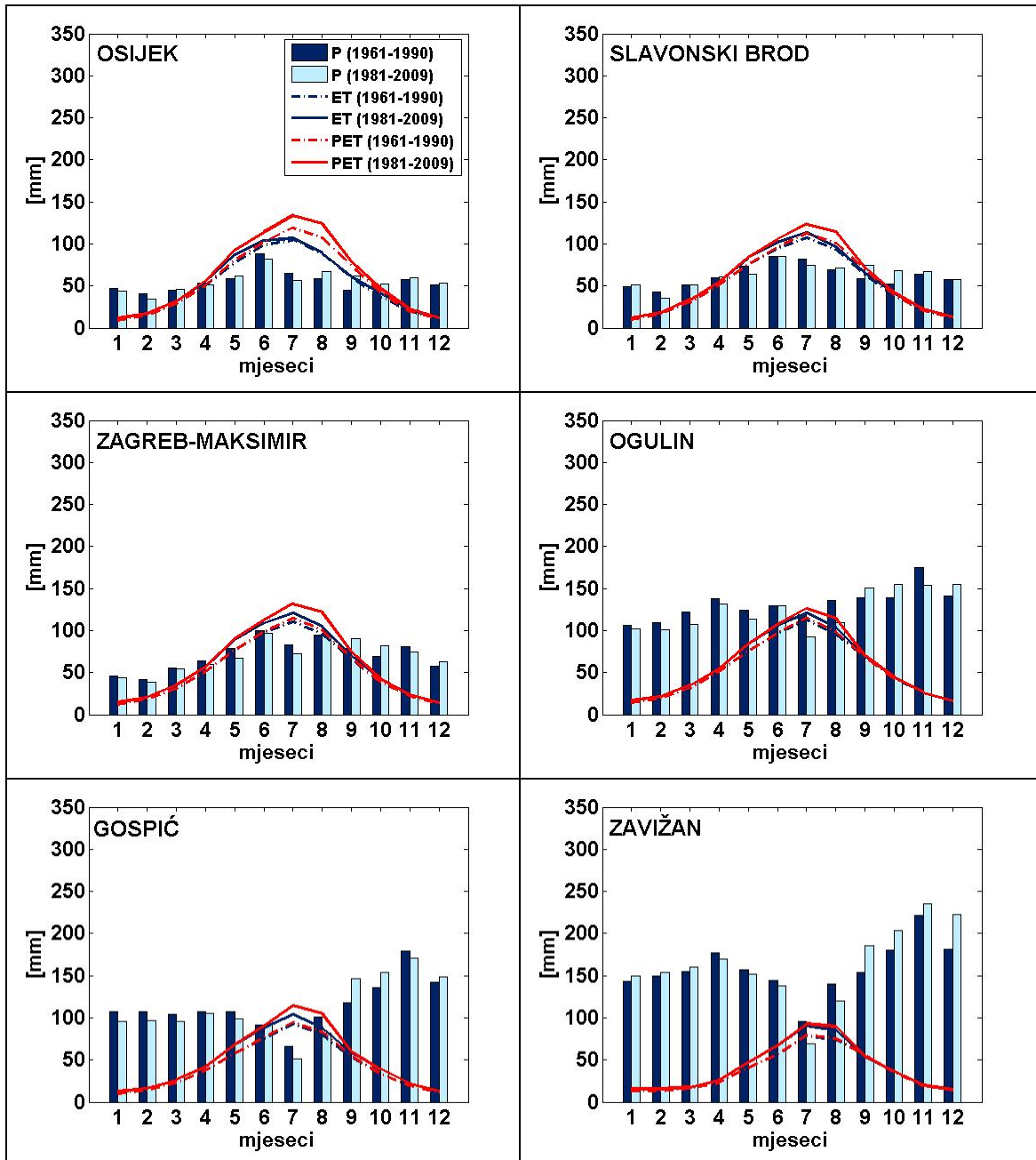
5.2.3. PRIMORSKA ILI MEDITERANSKA ZONA

Minimum oborine u toploj dijelu godine i maksimum u hladnom karakteristika je postaja primorske Hrvatske (Pula, Rijeka, Mali Lošinj, Šibenik, Zadar, Split-Marjan, Hvar i Dubrovnik). Zbog visokih srednjih dnevnih temperatura i niske relativne vlažnosti zraka, PET u toploj dijelu godine vrlo je visoka. Mala količina oborine i mali kapacitet zalihe vode u tlu rezultiraju niskom ET što je uz visoki potencijal isparavanja preduvjet za sušu.

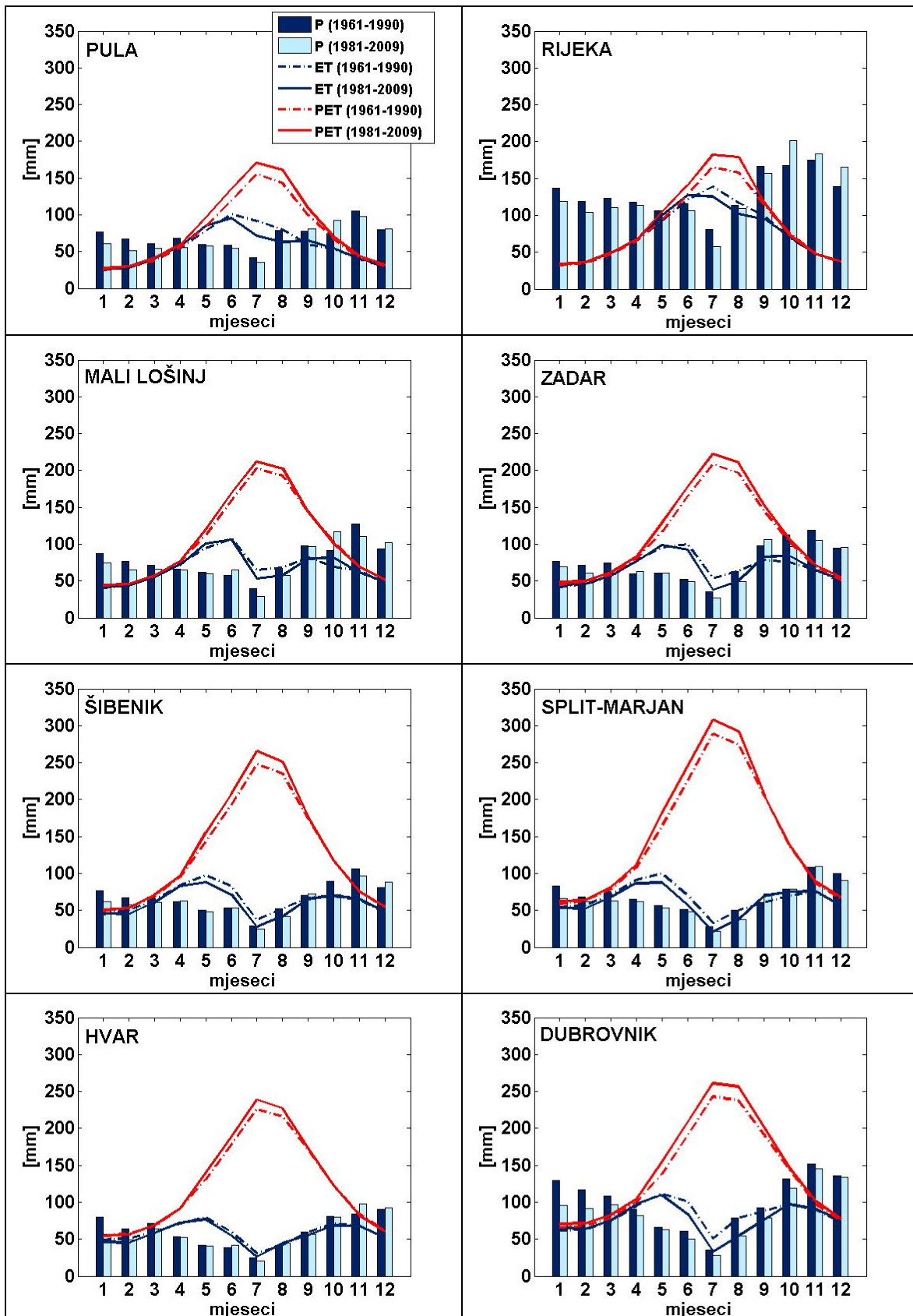
5.2.4. PROMJENE U POSLJEDNJA TRI DESETLJEĆA

Da bi se utvrdilo je li došlo do promjena evapotranspiracije u razdoblju 1981–2009, to razdoblje je uspoređeno sa standardnim klimatološkim razdobljem 1961–1990. za 14 meteoroloških postaja diljem Hrvatske (slika 11). Srednja mjeseca količina oborine posljednja tri desetljeća na svim promatranim postajama je nešto manja u odnosu na standardno klimatološko razdoblje, osim u jesenskim mjesecima na postajama gorske i nizinske zone gdje je situacija suprotna – više oborine u novijem razdoblju⁶. U nizinskoj i gorskoj Hrvatskoj zbog viših temperatura u posljednjim desetljećima vrijednosti PET i ET novijeg razdoblja povisile su se u odnosu na prethodno razdoblje. Unatoč povišenju temperature odnosno PET u novijem razdoblju, zbog smanjenja oborine u primorju, ET se smanjio u odnosu na razdoblje 1961–1990.

⁶Cindrić i dr. (2009) analizom podataka iz razdoblja 1901–2008. ukazano je na trend smanjenja godišnje količine oborine koji je jače izražen na Jadranu. Pokazano je da doprinos smanjenju godišnje količine oborine daju promjene u učestalosti dana manjeg intenziteta i signifikantno povećana učestalost suhih dana u cijeloj Hrvatskoj. Nadalje je pokazano da nema većih promjena u velikim količinama oborine i u učestalosti vlažnih i vrlo vlažnih dana.



Slika 11. Usporedba mjesecne količine oborine, potencijalne evapotranspiracije i stvarne evapotranspiracije [mm] razdoblja 1981–2009. sa standardnim klimatološkim razdobljem 1961–1990. za odabране postaje u Hrvatskoj.



Slika 11. nastavak

6. ZAKLJUČAK

Iz analize i diskusije dobivenih rezultata izvučeno je nekoliko zaključaka. Važno je uočiti kako komponente vodne ravnoteže, iako najvećim dijelom ovise o klimatskim elementima (temperatura zraka, oborina, vjetar i relativna vlažnost zraka), ovise i o geografskom položaju i geološkoj podlozi. Pri izračunu komponenti vodne ravnoteže nisu korišteni detaljni pedološki podaci niti je uzet u obzir utjecaj reljefa. Utjecaj reljefa nije uzet u obzir niti pri interpolaciji podataka na područje između postaja. Unatoč tome, dobivena je opća (gruba) slika srednje godišnje razdiobe komponenti vodne ravnoteže, kao i njihove srednje vrijednosti u vegetacijskom razdoblju u Hrvatskoj.

Pregledom slika prostornih razdioba komponenti vodne ravnoteže uočeno je sljedeće: kada bi bilo dovoljno vode, najviše vode bi moglo ispariti u Dalmaciji (zbog relativno visoke temperature zraka, relativno niske relativne vlažnosti zraka i relativno čestog jakog vjetra), a najmanje u gorskoj Hrvatskoj (zbog niže temperature zraka i više relativne vlažnosti zraka u odnosu na ostatak Hrvatske). No, u toplijem dijelu godine zbog visokih temperatura i relativno male količine oborine u Dalmaciji, stvarna evapotraspiracija puno je manja od potencijalno moguće, a otjecanja gotovo da i nema. U gorskoj Hrvatskoj potencijalna i stvarna evapotranspiracija uglavnom su jednake zbog dovoljne količine oborine pa je i količina otjecanja relativno velika. Zbog godišnje razdiobe oborine (viša u ljetnim mjesecima), te zbog velikog kapaciteta tla, u nizinskoj Hrvatskoj potrebe za isparavanjem uglavnom su zadovoljene.

Usporedbom podataka dvaju klimatoloških razdoblja (1981–2009) sa standardnim klimatološkim razdobljem (1961–1990) uočen je porast temperature i *PET* uz istovremeno smanjenje i nepovoljniju razdiobu količine oborine što za posljedicu ima smanjenje količine vode u tlu. Područja uz velike rijeke, kao što je npr. istočna Slavonija, te posljedice mogu ublažiti sustavnim navodnjavanjem (prskanjem), dok se na dalmatinskoj obali i otocima mora pristupiti tradicionalnom skupljanju kišnice u umjetne akumulacije i racionalno gospodariti vodom primjenjujući metodu „kap po kap“.

Smanjenje otjecanja može uzrokovati probleme vezane uz opskrbu vode, a smanjenje vlage u tlu probleme u poljoprivredi. Primjenom Palmerove metode, te na temelju informacija o vlažnosti/suhoci tla, uz brza računala koja su trenutno na tržištu, moglo bi se izrađivati kratkoročne prognoze vodne ravnoteže, te na temelju njih pravovremeno reagirati na predstojeće nepovoljno stanje u privredi (vodoopskrbi, poljoprivredi, energetici, turizmu, vatrogastvu), te ga sprječiti ili ublažiti posljedice.

Primjerice, upozoriti poljoprivrednike na zaštitu bilja prskanjem protiv određenih biljnih štetnika, navodnjavanje ili odgodu berbe; zatim, u vrlo sušnim razdobljima upozoriti na povećan oprez od šumskih požara i sl.

Jedini prostorni prikaz evapotranspiracije u gorskoj Hrvatskoj i dijelu Kvarnera prikazan je u radu Vučetić i Vučetić (1996a), a ostala istraživanja uglavnom se osnivaju na utjecaju klimatskih promjena. Ovo je prvi rad ove vrste na ovom području za novo razdoblje (1981–2009). Nakon dobivenih preliminarnih rezultata proračune bi trebalo poboljšati uzimanjem u obzir reljef tla, detaljnije pedološke razdiobe, vrste i količine vegetacije, te nemale količine oborine od rose i magle.

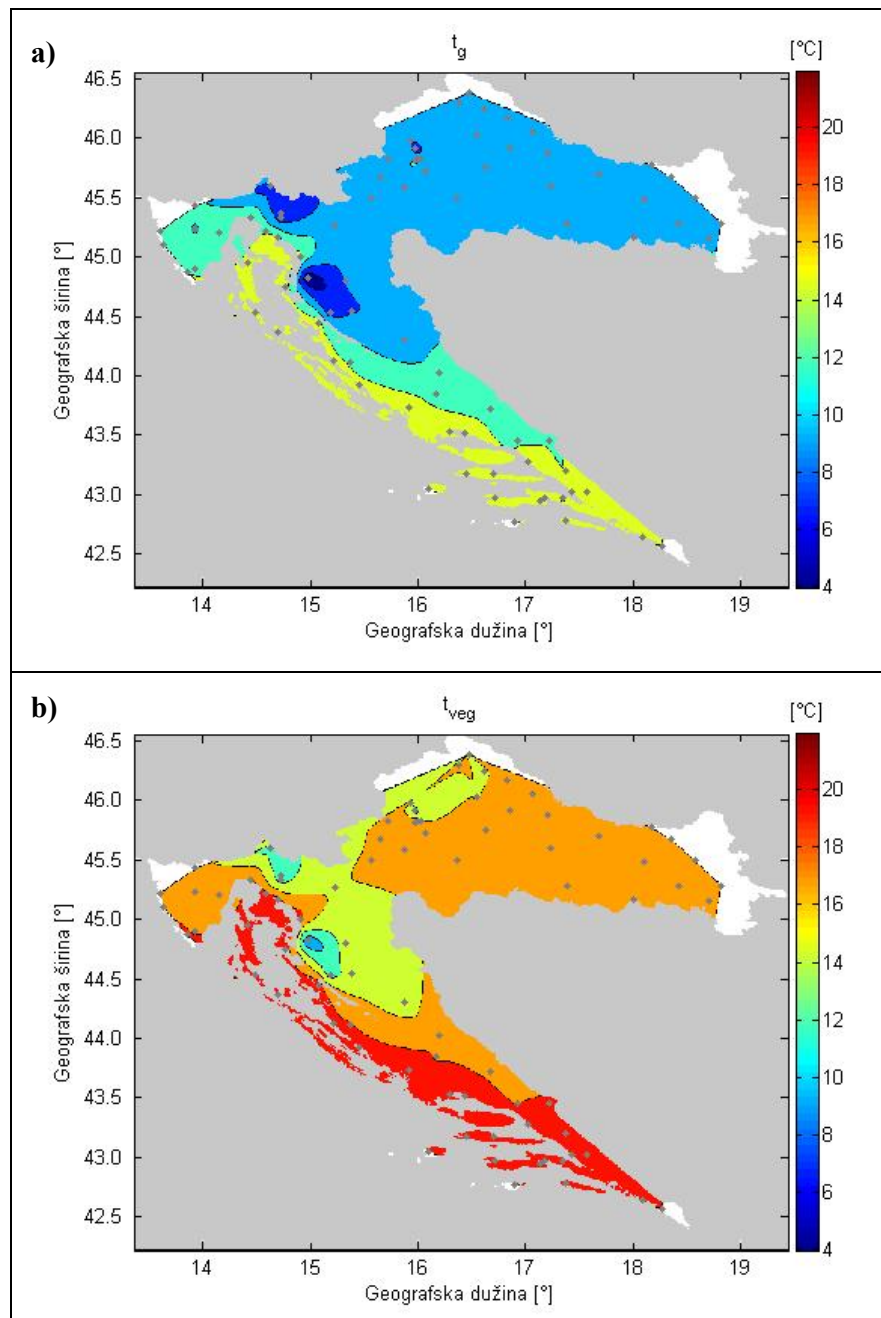
7. KRATICE

<i>P</i>	Količina oborine
<i>t</i>	Temperatura zraka
<i>u</i>	Relativna vlažnost zraka
<i>PET</i>	Potencijalna evapotranspiracija
<i>ET</i>	Stvarna evapotranspiracija
<i>S</i>	Sadržaj ili zaliha vode u tlu
<i>RO</i>	Otjecanje
<i>R</i>	Punjene tla vodom
<i>L</i>	Gubitak vode iz tla
<i>g</i>	Godišnji indeks
<i>veg</i>	Vegetacijsko razdoblje (od 1. travnja do 30. rujna)
<i>S_{maks}</i>	Maksimalni kapacitet tla
<i>C_v</i>	Koeficijent korekcije
<i>e_{maks}</i>	Maksimalni tlak vodene pare
<i>I</i>	Gornji sloj (0 – 0.2 m)
<i>2</i>	Donji sloj 0.2 – 1 m)
Δ	Promjena
<i>S'</i>	Zaliha vode u tlu na kraju mjeseca
<i>SRED</i>	Srednjak
<i>STD</i>	Standardna devijacija
<i>MAKS</i>	Maksimalna vrijednost
<i>MIN</i>	Minimalna vrijednost
<i>AMPL</i>	Raspon – razlika između maksimalne i minimalne vrijednosti
<i>ZI</i>	Zima
<i>PR</i>	Proljeće
<i>LJ</i>	Ljeto
<i>JE</i>	Jesen
<i>GOD</i>	Godina
ϕ	Geografska širina
λ	Geografska dužina
<i>h</i>	Nadmorska visina

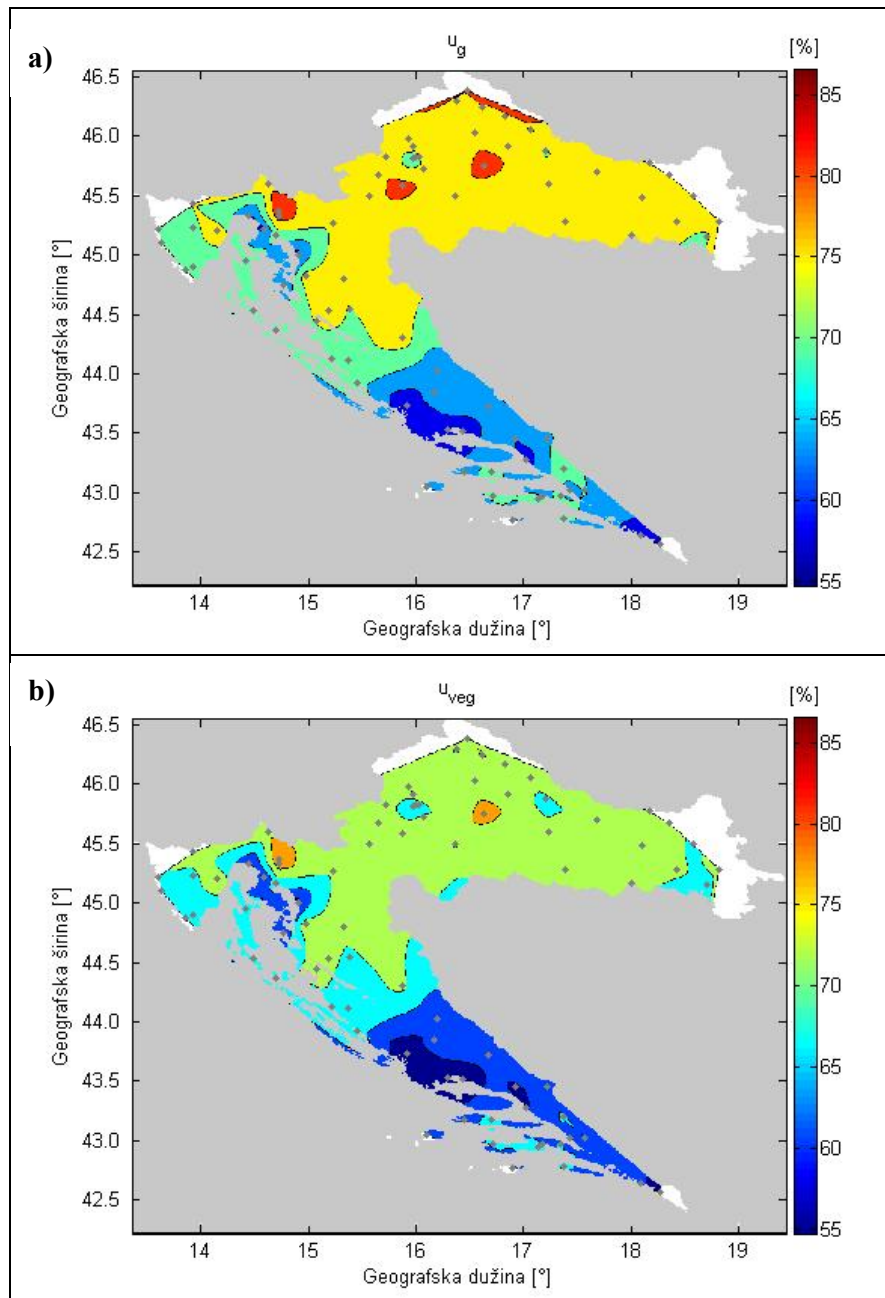
8. LITERATURA

- Cindrić K., Gajić-Čapka M. i K. Zaninović, 2009: Opažene klimatske promjene u Hrvatskoj, odabrano poglavlje u Petom nacionalnom izvješću Republike Hrvatske prema Okvirnoj Konvenciji Ujedinjenih naroda o promjeni klime, *Državni hidrometeorološki zavod*, Zagreb, 3–19.
- Gajić-Čapka M. i K. Zaninović, 1998: Sekularne varijacije nekih komponenti vodne ravnoteže u primorju. *Zbornik radova znanstvenog skupa "Prilagodba poljoprivrede i šumarstva klime i njenim promjenama"*, Zagreb, 19–20. svibnja, 53–60.
- Palmer C.W., 1965: Meteorological drought. *Research paper 45*, U.S. Department of Commerce Weather Bureau, Washington, D.C., 58 pp.
- Pandžić K., 1985: Bilanca vode na istočnom primorju Jadrana. *Rasprave* **20**, 21–29.
- Pandžić K., D. Trninić, T. Likso i T. Bošnjak, 2009: Long term variations in water balance components for Croatia. *Theoretical and Applied Climatology* **95**, 35–51.
- Penzar B., 1976: Indeksi suhoće za Zagreb i njihova statistička prognoza. *Rasprave*, **13**, 1–58.
- Penzar I. i B. Penzar, 2000: Agrometeorologija. *Školska knjiga, Zagreb*, 83–144.
- Vučetić M. i V. Vučetić, 1994: Istraživanje evapotranspiracije u nizinskom dijelu Hrvatske. *Zbornik radova „Poljoprivreda i gospodarenje vodama”*, Bizovačke Toplice, 17–19. studenog, 477–486.
- Vučetić M. i V. Vučetić, 1996a: Evapotranspiration in the mountain area of Croatia. *Zbornik radova „24. međunarodna konferencija za alpsku meteorologiju“*, Bled, Slovenija, 9–13. rujna, 401–408.
- Vučetić, V. i M. Vučetić, 1996b: Determination of evapotraspiration in Croatia, *Biometeorology*, **14**, 141–148.
- Vučetić, V. i M. Vučetić, 1997: Climatic conditions in the marine park of Silba, *Hrvatski meteorološki časopis*, **32**, 27–36.
- Vučetić V. i M. Vučetić, 1999: Varijacije vodne ravnoteže u morskim parkovima, *Zbornik radova 2. hrvatske konferencije o vodama „Hrvatske vode od Jadrana do Dunava“*, Dubrovnik, 19–22. svibnja, 117–122.
- Wells N., S. Goddard i M. J. Hayes, 2004: A self-calibrating Palmer Drought Severity Index. *Journal of Climate* **17**, 2335–2351
- Zaninović K. i M. Gajić-Čapka, 1999: Changes in components of the water balance in the Croatian lowlands. *Theoretical and Applied Climatology*, **65**, 111–117.
- Službena stranica američke oceanografske i atmosferske uprave (NOAA):
<http://www.noaa.gov/>

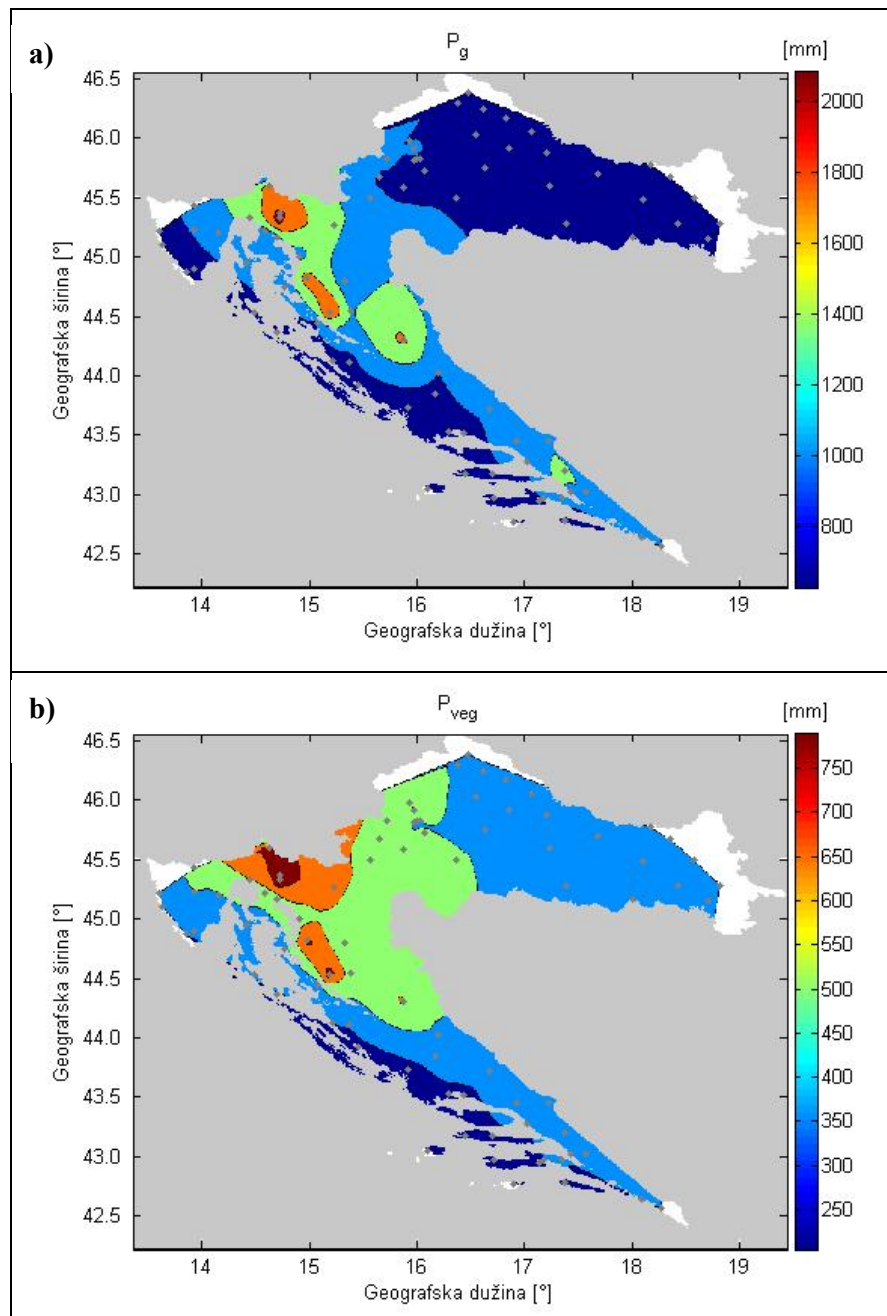
PRILOG 1.



Slika 12. a) Prostorna razdioba srednje godišnje temperature zraka (t_g , $^{\circ}\text{C}$) u Hrvatskoj i b) u vegetacijskom razdoblju (t_{veg} , $^{\circ}\text{C}$). Rubna područja za koje nema podataka za interpolaciju su bijela. Sive točke označuju položaj postaja.



Slika 13. Isto kao i na slici 12, ali za relativnu vlažnost zraka (u , %).



Slika 14. Isto kao i na slici 12, ali za ukupnu količinu oborine (P , mm).

PRILOG 2.

U slijedećim tablicama nalaze se vrijednosti količine oborine i komponenti vodne ravnoteže za 14 postaja za razdoblje 1981 – 2009. Mjeseci su označeni rimskim brojevima, a ostale kratice raspisane su na 33. stranici. Iste takve tablice napravljene su i za ostalih 68 postaja, ali su zbog opširnosti pohranjene na kompaktom disku (CD-u) koji je priložen uz ovaj rad.

